

فرآیندهای دیاژنزی کترل کننده کیفیت مخزنی توالی کربناته سازند آسماری در میدان چشمeh خوش، جنوب غرب ایران

جواد هنرمند^{*}، عبدالحسین امینی^۲

۱. دانشجوی دکتری زمین شناسی دانشگاه تهران و عضو هیئت علمی پژوهشگاه صنعت نفت honarmandj@ripi.ir

۲. عضو هیئت علمی دانشگاه تهران

چکیده

سازند آسماری به سن الیگو- میوسن در میدان نفتی چشمeh خوش از توالی محلوت کربناته- آواری تشکیل شده است. توالی کربناته این سازند ناهمگونی‌های عمودی شدیدی نشان می‌دهد که ناشی از تاریخچه دیاژنزی پیچیده آن می‌باشد. در این مطالعه که با هدف بررسی تأثیر فرآیندهای دیاژنزی بر کیفیت مخزنی توالی کربناته این سازند انجام شده، نمونه‌های مغزه و مقاطع نازک از نظر ویژگی‌های رسوب‌شناسی و دیاژنزی مورد مطالعه قرار گرفت. به منظور شناخت دقیق‌تر محصولات دیاژنزی، از میکروسکوپ الکترونی و کاتالولومینسانس استفاده گردید. داده‌های آنالیز مغزه (تخلخل و تراوایی) و نمودارهای پتروفیزیکی (تخلخل و اشباع نفت) سازند آسماری نیز جهت بررسی خواص مخزنی آن بکار گرفته شد.

مطالعات دیاژنزی و مقایسه آن با داده‌های پتروفیزیکی نشان داد که دولومیتی شدن، سیمانی شدن (سیمانهای کلسیت، ایندریت و سلسیت)، تراکم و انحلال مهم‌ترین پدیده‌های دیاژنزی کترل کننده تخلخل و تراوایی در این سازند می‌باشند. بر مبنای توزیع عمودی پدیده‌های دیاژنزی و خواص مخزنی، زون‌های دیاژنزی در سازند آسماری معرفی شد. زون‌های دولومیتی با بلورهای متوسط که دارای آثار تراکم و سیمان ایندریتی خیلی کم هستند از بالاترین مقادیر تخلخل و تراوایی برخوردارند (زون‌های ۲۳، ۲۷ و ۳۰). در حالی که عملکرد شدید تراکم و تشکیل سیمانهای ایندریت و سلسیت در برخی افق‌ها به شدت خواص مخزنی را کاهش داده است (زون‌های ۱۱، ۱۲ و ۲۴). اگرچه در بخش زیادی از افق‌های آهکی این سازند، تراکم و سیمان کلسیتی (اسپاری، هم‌بعد، فرگیرنده) باعث از بین رفتن بخش عمدۀ تخلخل و تراوایی شده و زون‌های ناتراوایی را ایجاد کرده است (زون‌های ۲۰، ۲۱ و ۱۷) اما سیمانی شدن و تراکم محدود و وجود تخلخل بین‌دانه‌ای و انحلالی در بخش‌هایی از توالی آهکی سازند آسماری خواص مخزنی را بهبود بخشیده است (زون‌های ۳۱ و ۳۲).

با توجه به اینکه خواص مخزنی سازند آسماری در این میدان به شدت متأثر از فرآیندهای دیاژنزی است لذا مدل‌سازی استاتیک این مخزن و تعیین روند توزیع پارامترهای مخزنی مستلزم مطالعات دیاژنزی و تعیین زون‌های دیاژنزی در گستره میدان خواهد بود.

کلمات کلیدی: دیاژنر، کیفیت مخزنی، آسماری و میدان نفتی چشمeh خوش

۱. مقدمه

مطالعات نشان داده است که اگرچه بخش زیادی از خواص پتروفیزیکی مخازن می‌تواند توسط توزیع رخساره‌های رسویی کنترل شود اما در بسیاری از مخازن به ویژه مخازن کربناته، فرآیندهای دیاژنزی نقش بسیار مهم‌تری در توزیع تخلخل، تراوایی و مقدار تولید از مخزن دارند. بنابراین شناخت فرآیندهای دیاژنزی بخش مهمی از توصیف مخازن کربناته و بازسازی مدل‌های مخزنی را تشکیل می‌دهد [۲، ۳، ۲۱].

در کشور ما نیز مطالعات گستردۀای در مورد نقش عوامل دیاژنزی بر روی تخلخل و تراوایی نمونه‌ها، در مقیاس یک یا چند چاه محدود انجام شده است. جدیدترین مطالعه بر روی سازند آسماری با عنوان "بررسی عوامل دیاژنزی مؤثر در کنترل جریان سیال در مخزن آسماری میدان گچساران" است که در سال‌های اخیر با مشارکت پژوهشگاه صنعت نفت و انتیتو نفت آی اف پی فرانسه انجام شده است [۴].

یک مجموعه رسویی فقط یک بار نهشته می‌شود، درحالی‌که به دفعات ممکن است تحت تأثیر یک یا چند پدیده دیاژنزی قرار گیرد. لذا تعیین تاریخچه توالی وقایع دیاژنزی نقش مهمی در شناخت شدت تأثیر آن‌ها در زمان‌های مختلف و در محیط‌های دیاژنزی مختلف خواهد داشت. در برخی مواقع توالی وقایع دیاژنزی ممکن است فوق العاده پیچیده بوده و به ویژه در صورتی‌که این پدیده‌ها با الگوی رسوب گذاری اطباق نداشته باشد، پیش‌بینی الگوی توزیع محصولات دیاژنزی در گستره مورد مطالعه مشکل خواهد بود [۵، ۶، ۷، ۲۱].

باتوجه به اهمیت مطالعات دیاژنزی سازند آسماری در بررسی روند توزیع ویژگی‌های مخزنی این سازند، مطالعات دقیق دیاژنزی در مقیاس میکروسکوپی و ماکروسکوپی بر روی نمونه‌های میدان چشمeh خوش انجام شد. این مطالعات نشان داد که مهم‌ترین پدیده‌های دیاژنزی مؤثر بر کیفیت مخزنی سازند آسماری در میدان مورد مطالعه تراکم، سیمانی شدن، تشکیل سیمان تبخیری، انحلال و دولومیتی شدن می‌باشند. پدیده‌های دیاژنزی مذکور چندان از رخساره‌های رسویی سازند آسماری تبعیت نمی‌کند. تأثیر توأم پدیده‌های تراکم و سیمانی شدن باعث تشکیل افق‌های ناتراوا شده در حالی که انحلال و دولومیتی شدن در برخی افق‌ها، تخلخل و تراوایی را به‌طور محسوسی افزایش داده و افق‌های مخزنی را ایجاد نموده است.

۲. موقعیت جغرافیایی و زمین‌شناسی منطقه

میدان چشمeh خوش در منتهی‌الیه شمالی فروافتادگی دزفول، در نزدیکی مرز جنوبی لرستان و در فاصله حدود ۱۸۰ کیلومتری شمال غربی اهواز بین میادین نفتی دنان و پایدار قرار دارد (شکل ۱-A). اولین چاه در این میدان در سال ۱۳۴۵ حفر شده، و در حال حاضر تعداد چاه‌های حفاری شده در این میدان به ۱۲ حلقه چاه رسیده است.

در میدان چشمeh خوش هم‌چون بسیاری از میادین واقع در فروافتادگی دزفول، سازند آسماری گسترش زیرسطحی داشته و مخزن مهم این میادین را تشکیل می‌دهد. در این بخش (فروافتادگی دزفول) قدیمی‌ترین سازند دارای رخنمون سازند آغازگاری با سن پلیوسن می‌باشد [۱].

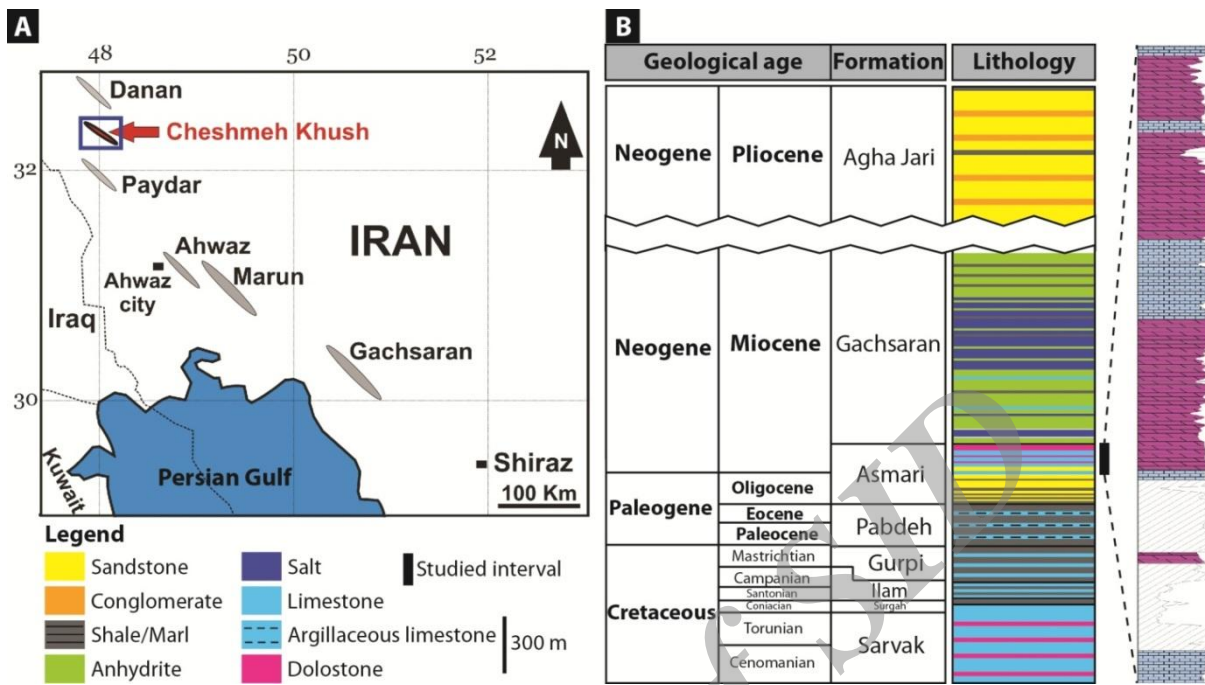
داده‌های لرزه‌نگاری دو بعدی نشان می‌دهد که تاقدیس چشمeh خوش دارای طول ۲۸/۵ و عرض حداقل ۴/۵ کیلومتر در بخش‌های مرکزی در افق آسماری می‌باشد. در سطح زمین ساختمان چشمeh خوش یک ساختمان تک شیب می‌باشد که به‌طرف شمال شرقی شیب دارد و بخش جنوب غربی آن توسط یک گسل تراستی محدود شده است.

مخزن آسماری، با ضخامت حدود ۳۲۰ متر (در چاه ۶)، در این میدان به علت نفوذ بخش ماسه سنگی اهواز به صورت یک مخزن هیبرید یا مخلوط ماسه سنگ و کربنات می‌باشد [۲]، (شکل ۱-B). در این مطالعه، پدیده‌های دیاژنزی و تأثیر آنها بر کیفیت مخزنی توالی کربناته این سازند مورد مطالعه قرار گرفت.

۳. روش‌های مطالعه

این مطالعه با هدف تعیین زون‌های دیاژنسی در بخش‌های مختلف مخزن و ارتباط آنها با خواص مخزنی تخلخل و تراوایی سازند آسماری در این میدان، انجام شد. به منظور شناسایی فرآیندهای دیاژنسی سازند آسماری در میدان مورد نظر، در ابتداء ۲۴۲ متر نمونه مغزه از سه چاه مورد مطالعه قرار گرفتند و پارامترهای در مقیاس مغزه همچون سنگ‌شناسی، اندازه دانه‌ها، ساختمان‌های رسوبی، آثار تراکم (به‌ویژه رگچه‌های اتحالی و استیلولیت‌ها)، آثار زیست‌آشفتگی (مانند اثرات حفاری موجودات)، فضاهای خالی اتحالی، سیمان‌های کلسیتی و اندیزیتی قابل روئیت، نودول‌های اندیزیتی و نوع و مقدار تخلخل قابل روئیت بررسی گردید. در ادامه تعداد ۷۲۰ مقطع نازک تهیه شده از نمونه‌های مغزه که، مطابق روش دیکسون [۸]، با محلول آلیزارین قرمز رنگ آمیزی شده بودند با میکروسکوپ پلاریزان (مدل نیکون) مورد مطالعات دقیق و کامل قرار گرفتند. کلیه پدیده‌های دیاژنسی در مقیاس میکروسکوپی همچون زیست‌آشفتگی، میکراتی‌شدن، دولومیتی‌شدن (اندازه و شکل بلورهای دولومیت)، تراکم مکانیکی و شیمیابی، تخلخل‌های اتحالی (از نوع قالبی اسکلتی، قالبی اوئیدی، حفره‌ای و کانالی)، سیمانی‌شدن کلسیتی (شامل انواع اسپاری درشت‌بلور، هم‌بعد، فرآگیرنده، رشدی‌هم‌محور و حاشیه‌ای هم‌ضخامت) شناسایی و به تصویر کشیده شدند. همچنین به منظور بررسی ارتباط پدیده‌های دیاژنسی با رخساره‌های رسوبی، پارامترهایی همچون بافت رسوبی و نوع و فراوانی آلوکم‌ها (همچون اوئیدها و فسیل‌ها) مطالعه و رخساره‌های رسوبی و کمریندهای رخساره‌های معرفی شدند.

به منظور شناخت دقیق‌تر مورفولوژی سیمان‌های مختلف کلسیتی نمونه‌ها با استفاده از میکروسکوپ الکترونی و کاتدولومینسانس نیز مورد مطالعه قرار گرفتند [۹، ۱۰، ۱۱، ۱۲] جهت بررسی ارتباط گسترش پدیده‌های دیاژنسی با خواص مخزنی، نتایج آنالیز مغزه شامل مقادیر تخلخل و تراوایی از تعداد ۷۰۰ نمونه پلاگ و همچنین نمودارهای پتروفیزیکی همچون نمودار گاما، تخلخل و اشباع نفت نیز مورد استفاده قرار گرفتند. تخلخل و تراوایی مغزه در آزمایشگاه و به ترتیب، نسبت به گاز هلیم و هوا اندازه‌گیری گردیدند. در این مطالعه به منظور تفسیرهای پتروفیزیکی و رسم نمودارها از نرم‌افزار ژئولوگ استفاده شد



شکل ۱: موقعیت جغرافیایی میدان چشمeh خوش، ستون چینه‌شناسی میدان و موقعیت چینه‌شناسی توالی کربناته مورد مطالعه

۴. رخساره‌های رسوبی

به منظور بررسی نقش رخساره‌های رسوبی بر کنترل خواص مخزنی سازند آسماری، نمونه‌های مغزه و مقاطع نازک از دیدگاه رسوب‌شناسی نیز مورد مطالعه قرار گرفت. براساس مشاهدات ماکروسکوپی و میکروسکوپی و مقایسه با رخساره‌های معروف شده توسط محققین دیگر [۱۷، ۱۸، ۱۹، ۲۰، ۲۱، ۱۵، ۱۴، ۱۳] توالی کربناته سازند آسماری مطالعه و ۱۲ رخساره میکروسکوپی یا رخساره^۱ در قالب ۵ کمربند رخساره‌ای (A, B, C, D & E) معرفی گردید. توصیف رخساره‌های مذکور، به اختصار در جدول ۱ ارائه شده است.

¹ Microfacies

جدول ۱: رخسارهای و کمربندهای رخسارهای بخش‌های کربناته سازند آسماری در میدان چشمه‌خوش

کمربند رخسارهای	رخسارهای	
بخش عمیق دریای باز	بايوکلاست و کستون دارای فرامینیفرهای پلاژیک	A
بخش کم عمق دریای باز	بايوکلاست پکستون دارای فرامینیفرهای پتیک بزرگ	B1
	بايوکلست پکستون دارای جلیک قرمز، اکینوردم و روتابیا	B2
سد	اوئیدگرینستون	C1
	بايوکلاست / فاورینا / اوئیدگرینستون	C2
	میلیولیدا دندربیتینا گرینستون	C3
lagون	میلیولید بايوکلاست پکستون	D1
	میلیولید دندربیتینا و کستون پکستون	D2
	باندستون مرجانی	D3
پهنه جزر و مدنی	مادستون دولومیتی دانه‌ریز بدون لایه‌بندی	E1
	مادستون دولومیتی دانه‌ریز دارای لایه‌بندی و بین‌لایه‌های تبخیری	E2
	پیسونیا پکستون	E3

در شکل ۲ ارتباط این رخسارهای با تخلخل و تراوایی مغزه ارائه شده است. این نمودارها نشان می‌دهد که در این میدان نیز هم‌چون بسیاری از میادین فروافتادگی دزفول، خواص مخزنی چندان از رخساره رسوبی تعیت نمی‌کند. این حالت در رخسارهای سد، حاشیه سد و لاغون به مراتب بیشتر مشاهده می‌شود. بنابراین انتظار می‌رود که پدیده‌های دیاژنزی نقش خیلی مهم‌تری در ایجاد ناهمگونی‌های افقی و عمودی در خواص مخزنی این سازند ایفا نمایند.

- فرآیندهای دیاژنسی

مشاهدات ماکروسکوپی و میکروسکوپی نمونه‌های سازند آسماری در میدان چشمه‌خوش نشان می‌دهد که توالی کربناته این سازند متأثر از فرآیندهای دیاژنسی متنوعی بوده که خواص پتروفیزیکی آن را دستخوش تغییرات زیادی نموده است. زیست-آشفتگی^۱، تراکم^۲، انحلال^۳، سیمانی شدن^۴، کانه‌زایی تبخیری^۵ و دولومیتی شدن، مهم‌ترین پدیده‌های دیاژنسی موثر بر سازند

¹ Bioturbation

² Compaction

³ Dissolution

⁴ Cementation

⁵ Evaporite mineralization

آسماری در این میدان می‌باشند. در ادامه هر یک از پدیده‌های دیاژنزی مذکور و ارتباط آن‌ها با ویژگی‌های مخزنی این سازند بررسی می‌شود.

- زیست آشفتگی

زیست آشفتگی فرآیندی است که معمولاً "برابر فعالیت موجودات در زمان رسوب‌گذاری (در محیط فرآیندی دریایی) می‌تواند باعث تغییراتی در بافت و یا رنگ رسوبات گردد. افزون بر آن فعالیت موجودات زنده بر روی رسوبات سخت نشده و گاهی سخت شده می‌تواند آثار حفاری ایجاد نماید [۲۲]. آثار زیست آشفتگی و حفاری موجودات در سازند آسماری میدان مورد مطالعه بسیار محدود و عمده‌تا" در نهشته‌های گل-پشتیبان (مادستون، وکستون و پکستون) متعلق به محیط‌های لاغون (رخساره D2) و دریای باز (رخساره B1 و B2) مشاهده گردید (شکل‌های A-۳ و B-۳).

از آنجا که حضور و فعالیت موجود و درنتیجه آثار زیست آشفتگی عمده‌تا" در محیط‌های آرام و کم انرژی زیر سطح اثر امواج در شرایط عادی^۱ می‌باشد و در چنین شرایطی رخساره‌ها عمده‌تا" از زمینه میکرایتی با تخلخل کم برخوردارند [۲۲]، لذا هرچند در مواردی فرآیند زیست آشفتگی و حفاری موجودات می‌تواند باعث ایجاد ناهمگونی در بافت و درنتیجه تخلخل و تراوایی سنگ گردد اما تاثیر آن بر خواص مخزنی عمده‌تا" قابل توجه نمی‌باشد.

- تراکم

مطالعات پتروگرافی سازند آسماری در میدان مورد مطالعه نشان می‌دهد که تراکم در سازند آسماری به دو شکل مکانیکی و شیمیایی مشاهده می‌شود [۲۳، ۲۴]. فرآیند تراکم مکانیکی در این سازند به شکل کاهش حجم فضاهای بین‌دانه‌ای، درهم-رفتگی و شکستگی دانه‌ها و هم‌چنین شکستگی سیمان ایزوپکسوس اطراف آلوکم‌ها رخ داده است (شکل ۳). فرآیند تراکم مکانیکی در نهشته‌های دانه‌ریز با بافت گل-پشتیبان، به‌ویژه در اعماق تدفین کم، مؤثرتر بوده اما آثار این تراکم در نهشته‌های دانه-پشتیبان با بافت گرینستون و پکستون مشهودتر هستند. با توجه به فراوانی بیشتر رخساره‌های با بافت گرینستون و پکستون (رخساره‌های B1، B2، C1، C2، C3 و D1 و D2) در سازند آسماری میدان مورد مطالعه و تأثیر زیاد تراکم مکانیکی بر این نوع بافت، بخش زیادی از فضاهای خالی بین‌دانه‌ای در این سازند از بین رفته است.

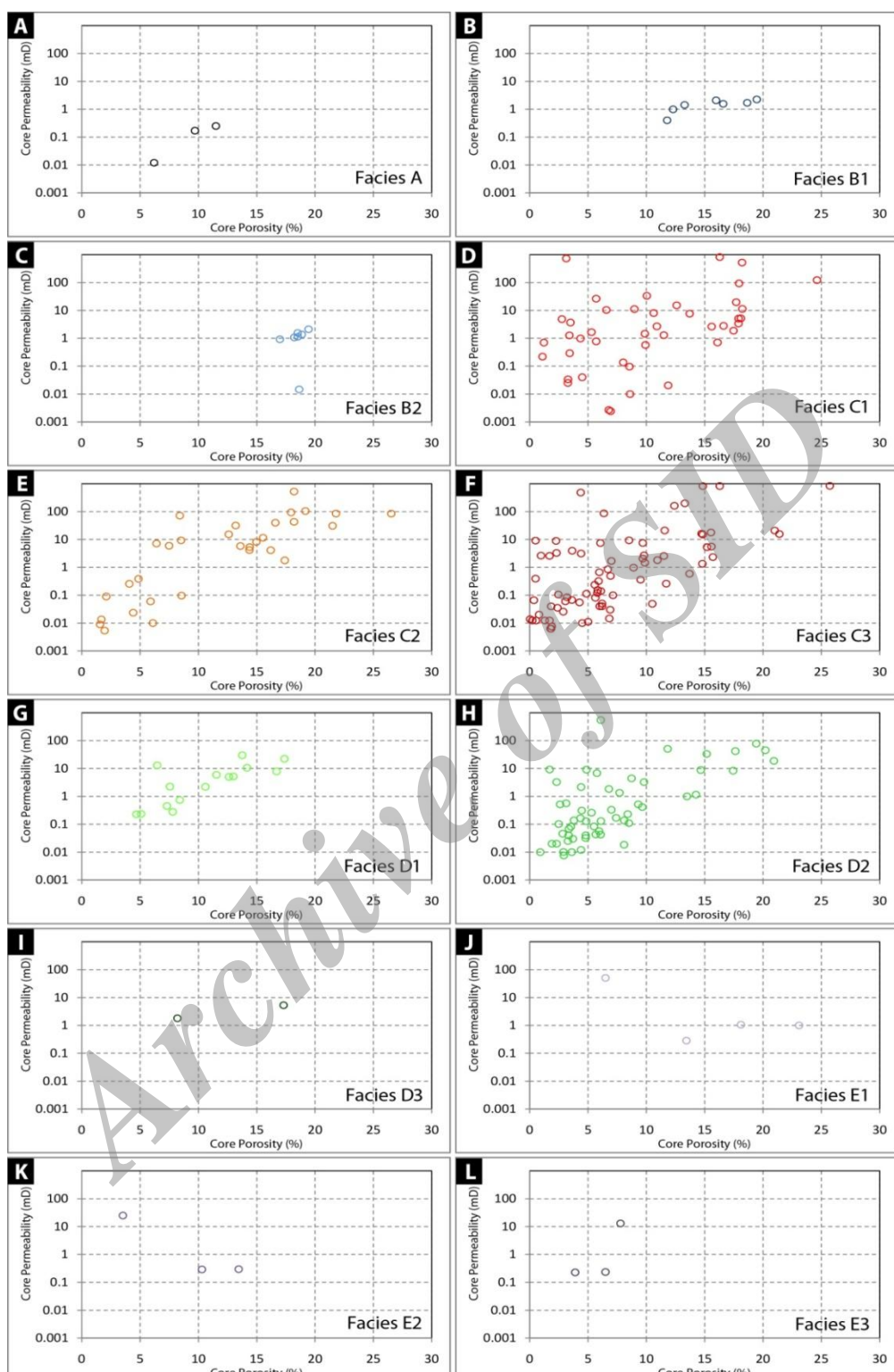
تراکم شیمیایی ناشی از افزایش فشار در محل تماس دانه‌ها و یا در امتداد سطوح لایه‌بندی می‌باشد. منشاء این فشار می‌تواند وزن طبقات بالایی و یا تنש‌های تکتونیکی باشد. افزایش فشار باعث انحلال در مرز دانه‌ها شده و به تدریج فابریک‌های درهم^۲، رگچه‌های انحلالی^۳ و استیلولیت‌ها^۴ را تشکیل می‌دهد [۵]. این اشکال در گرینستون‌های اوئیدی و اسکلتی و پکستون اسکلتی محیط‌های لاغون و بخش کم عمق دریایی باز به فراوانی مشاهده گردید (شکل‌های C-۳ و D-۳). با توجه به تغییرات ایجاد شده در بافت و فابریک سنگ در نتیجه تراکم، بخش زیادی از فضاهای خالی بین‌دانه‌ای سازند آسماری از بین رفته و در حواشی زون‌های استیلولیتی نیز سیمان کلسیتی مرتبط با انحلال فشاری بخش زیادی از فضاهای خالی را اشغال نموده است. به این ترتیب فرآیند تراکم شیمیایی به عنوان یکی از مهمترین پدیده‌های دیاژنزی کاهش‌دهنده تخلخل و تراوایی در سازند آسماری میدان مورد مطالعه محسوب می‌شود.

¹ Fair weather wave base

² Fitted Fabric

³ Solution seams

⁴ Stylolite



شکل ۲: نمودار تخلخل-تروایی رخساره‌های کربناته سازند سماری در میدان چشم‌خوش

- بیشترین آثار تراکم مکانیکی در نمونه‌های متعلق به رخساره‌های سد و حاشیه لاغونی سد (C1, C2 & C3) وجود دارد.
بیشترین آثار تراکم شیمیایی شامل رگچه‌های انحلالی و استیلویلت نیز در نمونه‌های متعلق به رخساره‌های لاغون و سد (D1, D2, C1, C2 & C3) وجود دارد.

- انحلال

فرآیند انحلال یکی از پدیده‌های مهم دیاژنزی افزایش دهنده تخلخل در سنگ‌های رسوبی محسوب می‌شود. حرکت آب‌های تحت اشباع نسبت به کربنات کلسیم عامل اصلی انحلال دانه‌های کربناته، سیمان و ماتریکس می‌باشد. این فرآیند در نهشته‌های کربناته در محیط‌های دیاژنزی نزدیک به سطح، محیط‌های متئوریک، منطقه آمیختگی آب‌ها^۱ و همچنین محیط‌های دیاژنزی تدفینی رخ می‌دهد [۵, ۲۵]. اهمیت این فرآیند به دلیل نقش آن در تشکیل فضاهای خالی جدید و یا توسعه فضاهای خالی اولیه در سنگ می‌باشد.

مطالعات ماکروسکوپی و میکروسکوپی نمونه‌های سازند آسماری در میدان مورد مطالعه نشان می‌دهد که فضاهای خالی قالبی و حفره‌ای (که در برخی نمونه‌ها اندازه آن‌ها به بیش از ۵ میلیمتر می‌رسد) در بسیاری از افق‌های کربناته این سازند به فراوانی تشکیل شده است (شکل‌های E-۳, F-۳ و G-۳). انحلال کامل اوئیدها یا بخشی از فضاهای درون لامینه‌های^۲ اوئید در رخساره اوئید گرینستون (رخساره‌های C1 و C2)، به ترتیب، تخلخل قالبی اوئیدی و تخلخل قالبی درون لامینه‌ای^۳ را ایجاد کرده است [۷, ۲۶]. این انواع تخلخل در صورت عدم ارتباط مناسب بین آن‌ها از طریق شبکه فضاهای خالی بین‌بلوری و یا بین‌دانه‌ای موجود در سنگ افزایش محسوسی در تراوایی ایجاد نخواهد کرد [۷].

- سیمانی شدن

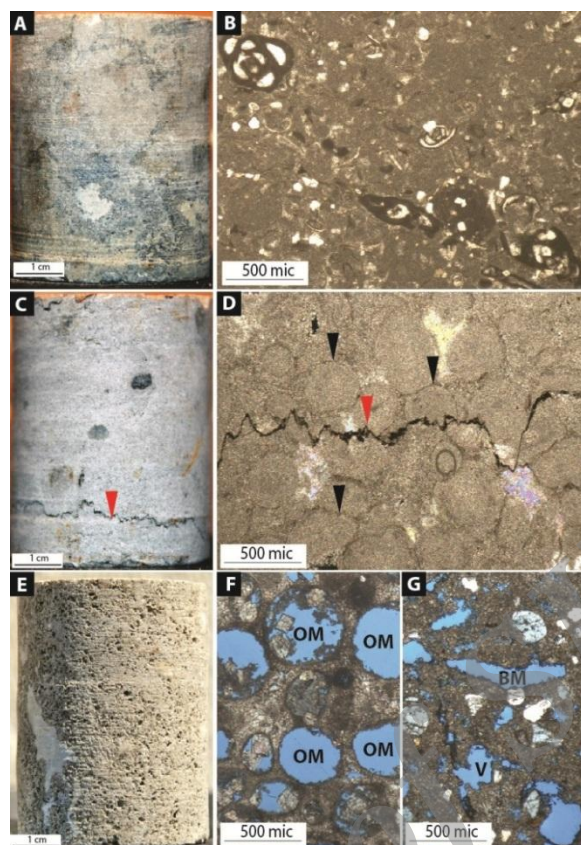
سیمانی شدن یکی از متداول‌ترین و مهم‌ترین فرآیندهای دیاژنزی مؤثر بر کیفیت مخزنی به‌ویژه در کربنات‌ها می‌باشد. به طور کلی فرآیند سیمانی شدن در جایی که سیالات درون‌سازندی از نظر کربنات کلسیم به حد فوق اشباع رسیده باشد رخ می‌دهد [۲۷].

مطالعات انجام شده بر روی سازند آسماری در میدان مورد مطالعه نشان داد که سیمان‌های کلسیتی، انیدریتی و سلسیتی فراوان‌ترین انواع سیمان در این سازند می‌باشند. این نوع سیمان‌ها بخش زیادی از فضاهای خالی بین‌دانه‌ای، درون دانه‌ای، قالبی، حفره‌ای و شکستگی در این سازند را فراگرفته‌اند. سیمان کلسیتی با توجه به محیط دیاژنزی به اشکال متفاوتی مشاهده شده، که در ادامه هریک از این سیمان‌های کلسیتی و ارتباط آن با خواص مخزنی معرفی می‌شوند. افزون بر این، در این مطالعه به منظور شناسایی بهتر فرآیندهای دیاژنزی به‌ویژه انواع سیمان در سازند آسماری، تعداد ۳۴ نمونه آماده‌سازی و با استفاده از میکروسکوپ کاتدولومینسانس مورد مطالعه قرار گرفت.

¹ Mixing zone

² Cortices

³ Intracortical moldic porosity



شکل ۳: تصاویر نمونه‌های مغزه و مقاطع نازک از آشفتگی زیستی (شکل‌های A و B)، اشکال تراکم مکانیکی (درهم رنگی و مرزهای مضرسی دانه‌های اوئید-شکل D، فلش‌های سیاه) و تراکم شیمیابی (استیلویلت-شکل C و D، فلش خاکستری) و همچنین انحلال (تخلخل‌های قالبی اوئیدی (OM)-شکل‌های E و F و قالبی اسکلتی (BM) و حفره‌ای (V)-شکل G.

- سیمان کلسیتی هم‌بعد

سیمان کلسیتی هم‌بعد یکی از فراوان‌ترین سیمان‌های کلسیتی در سازند آسماری میدان چشم‌خوش می‌باشد که بسیاری از حفرات، فضاهای خالی بین‌دانه‌ای و داخل قطعات فسیلی را فرا گرفته است (شکل ۴). سیمان کلسیت اسپاری هم‌بعد می‌تواند در محیط متهویریکی و تدفینی تشکیل شود [۲۸، ۵]. با توجه به رنگ لومینسانس تیره‌تر آن به نظر می‌رسد که این نوع سیمان در بسیاری از نمونه‌ها، در شرایط تدفینی کم عمق تشکیل شده باشد (شکل‌های A-۴، A-۴، B-۴، F-۴، G-۴ و H-۴). فراوانی زیاد و گسترش وسیع سیمان کلسیتی هم‌بعد در رخساره‌های مختلف باعث شده که این نوع سیمان نقش مهمی در کاهش کیفیت مخزنی سازند آسماری داشته باشد.

بیشترین گسترش سیمان‌های کلسیتی در افق آهکی بخش میانی آکی‌تائین است. سیمانی شدن گستره در این افق باعث کاهش شدید تخلخل، تراوایی و در نتیجه اشباع نفت گردیده و آن را به یک افق آهکی ناتراوا تبدیل کرده است.

- سیمان کلسیت رورشی هم‌محور

یکی دیگر از سیمان‌های تشکیل شده در سازند آسماری میدان مطالعه، سیمان کلسیت رورشی هم‌محور است (شکل ۴-C). این نوع سیمان که عمدتاً "در اطراف قطعات اکینزدرم" تشکیل شده، ممکن است در محیط‌های مختلف دیاژنزی شامل محیط فرآتیک آب شیرین [۲۹] و تدفینی [۳۰] تشکیل شود. مطالعات پتروگرافی نمونه‌های سازند آسماری در میدان مورد

مطالعه بیانگر این است که سیمان رشدی هم محور در این سازند گسترش محدودی داشته و تنها در بخش‌هایی از رخساره‌های دریای باز و حاشیه لاغون مشاهده می‌شود.

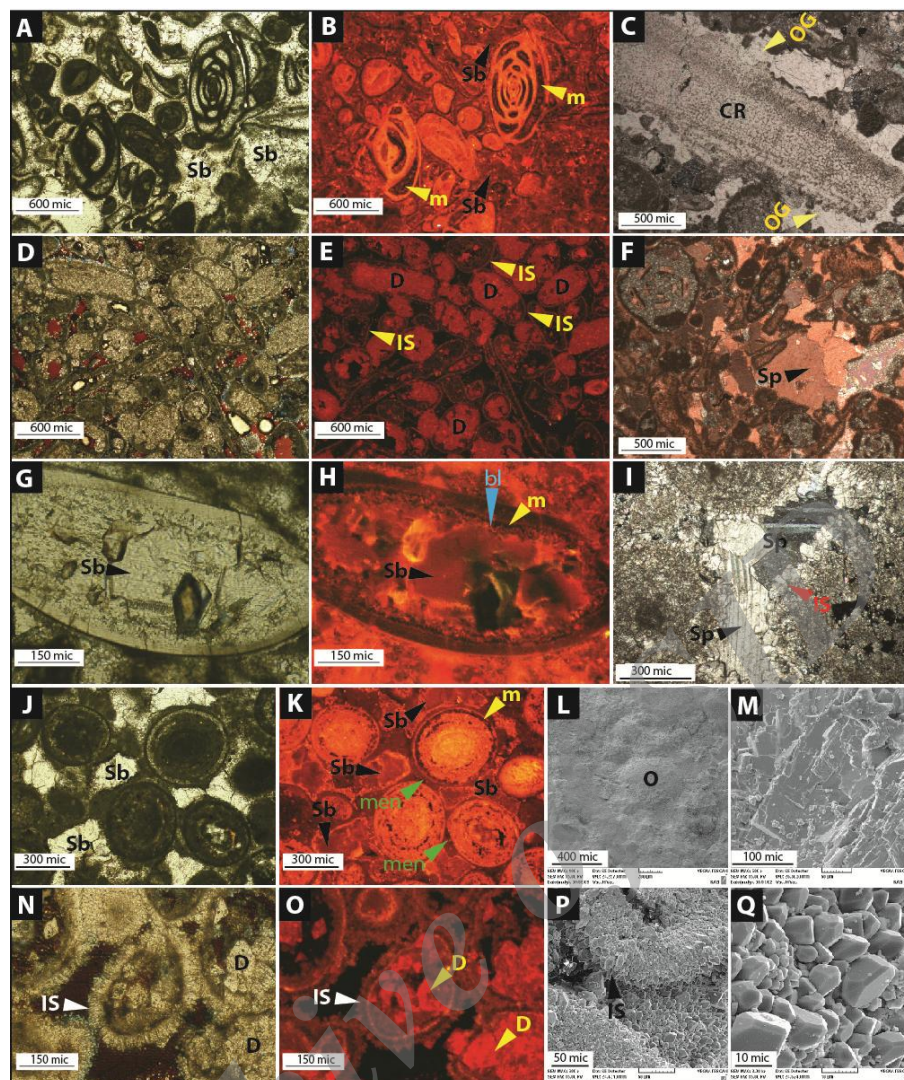
- سیمان کلسیتی هم‌ضخامت

در سازند آسماری این نوع از سیمان دریابی به فراوانی در اطراف دانه‌های اوئید و اجزاء اسکلتی در بافت‌های گرینستون و پکستون مشاهده می‌شود (شکل‌های D-۴، E-۴، N-۴ و O-۴). مطالعات پتروگرافی نمونه‌های سازند آسماری در میدان مورد مطالعه بیانگر این است که سیمان حاشیه‌ای هم‌ضخامت اگرچه در اکثر رخساره‌های گرینستون اوئیدی و اسکلتی متعلق به رخساره‌های سد و حاشیه لاغونی سد (C1, C2 & C3) وجود دارد اما شکل و نحوه آرایش آن در اطراف دانه‌ها سبب می‌شود که بخش کمی از فضاهای بین‌دانه‌ای توسط این نوع سیمان اشغال شود و بنابراین تاثیر به مراتب کمتری نسبت به سایر اشکال سیمان‌های کلسیتی (کلسیت اسپاری، هم‌بعد و فرآگیرنده) روی کاهش تخلخل و در نتیجه تراوایی سنگ می‌گذارد [۲۹، ۵].

- کانه‌زایی تبخیری

انیدریت (با فرمول شیمیایی CaSO_4) فراوان‌ترین نوع گسترش سولفات می‌باشد که به صورت سیمان پرکننده در تخلخل‌های بین‌بلوری، بین‌دانه‌ای، قالبی، حفرات اتحالی و شکستگی‌ها، در سازند آسماری، مشاهده شده است. مطالعات انجام شده نشان می‌دهد که انیدریت عمدتاً به شکل سیمان و نودول (شکل اولیه سولفات کلسیم) در این سازند گسترش دارد (شکل‌های A-۵، B-۵، F-۵ و G-۵). در برخی افق‌ها نیز انیدریت به شکل چانشینی قطعات اسکلتی مشاهده شد. مقایسه زون‌های دارای نودول انیدریتی با زون‌های دولومیتی تراوا و ناتراوا نشان می‌دهد که تشکیل انیدریت به اشکال نودولی تاثیر چندانی بر کیفیت مخزنی سازند آسماری ندارد [۲۱، ۳۲]. در صورتی که سیمان انیدریتی با اشغال انواع فضاهای بین‌دانه‌ای، قالبی، حفره‌ای، بین‌بلوری و بعض‌اً کانالی نقش مهمی در کاهش مقدار تخلخل و تراوایی بخش‌های دولومیتی این سازند دارد. این نوع انیدریت پرکننده فضاهای خالی در برخی افق‌های دولومیتی سازند آسماری تا ۴۰ درصد حجم سنگ را فراگرفته و تخلخل و تراوایی سنگ را به نزدیک صفر کاهش داده است (شکل F-۵).

در سازند آسماری بیشترین فراوانی سیمان انیدریتی کاهش دهنده تخلخل و تراوایی در رخساره‌های سد و لاغون می‌باشد. در حالی که بیشترین گسترش انیدریت به شکل نودول در محیط لاغونی خیلی شور و پهنه جزر و مدی مشاهده شد.



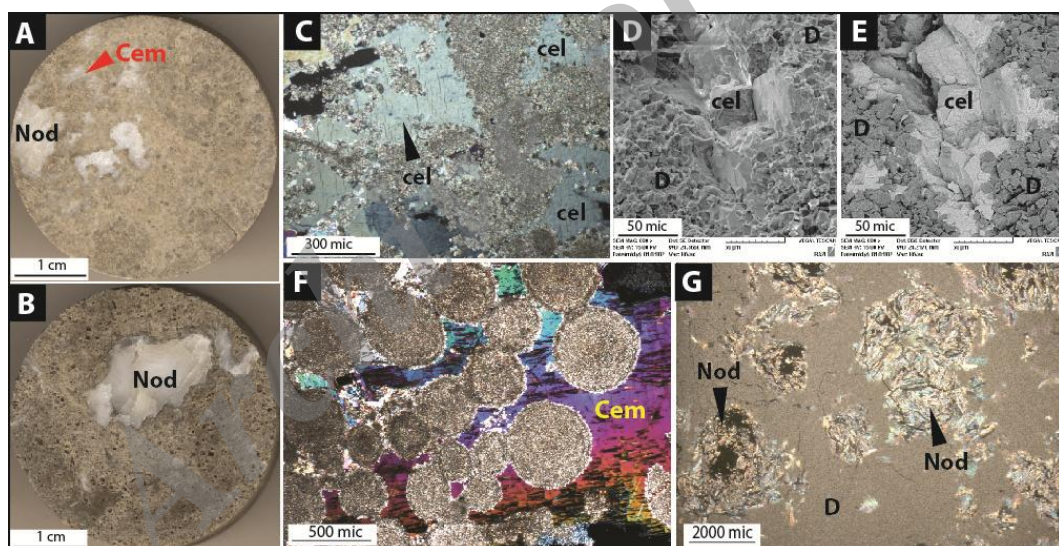
شکل ۴: تصاویر میکروسکوپی از انواع سیمان کلسیتی در بافت‌های گرینستونی سازنده آسماری در میدان مورد مطالعه. (A و B) سیمان‌های کلسیتی نوع دریابی (m) و تدفینی کم عمق (OG): (C) سیمان رشدی هم محور (OG) در اطراف ساقه کرینوئید (CR): (D و E) سیمان‌های ایزوپیکوس (IS) در اطراف دانه‌های اوئید و دولومیتی شدن اوئیدها (D): (F) سیمان کلسیت اسپاری (SP): (G و H) سیمان‌های کلسیتی فاقد لومینسانس از نوع دریابی (m)، تیغه‌ای (bl) و تدفینی کم عمق (sb): (I) سیمان کلسیت اسپاری (SP) در بین اوئیدها: (J و K) سیمان‌های دریابی (m)، منیسکوس (men) و تدفینی کم عمق (sb): (M) تصویر میکروسکوپ الکترونی از سیمان کلسیت اسپاری در فضای بین اوئیدها (O) در شکل (L): (N و O) سیمان ایزوپیکوس (IS) و بلورهای دولومیت (D): (P و Q) تصویر میکروسکوپ الکترونی از سیمان ایزوپیکوس.

یکی دیگر از کانی‌های تبخیری که به شکل سیمان بخشی از فضاهای خالی سازنده آسماری را در زون‌های دولومیتی، فراگرفته و باعث کاهش تخلخل در این سازنده شده، کانی سلسیت (با فرمول شیمیایی SrSO_4) می‌باشد. این کانی متداول‌ترین کانی سولفاته دارای استرانسیم، از گروه باریت، می‌باشد که همراه با انیدریت و ژیپس در بسیاری از توالی‌های کربناته مشاهده می‌شود [۳۳، ۳۴]. سلسیت نیز هم‌چون انیدریت به اشکال سیمان، جایگزینی و نودول می‌تواند در نهشته‌های کربناته دیده شود. بیشترین گسترش سلسیت در سازنده آسماری میدان چشم‌خوش به شکل سیمان پرکننده فضاهای خالی است (شکل‌های ۵-۵، C-D و E-۵). گسترش نودولی و کوههای سلسیت نیز هم‌چون انیدریت تأثیر چندانی بر اندازه فضاهای خالی و تراوایی سنگ ندارد.

این کانی با توجه به خصوصیات فیزیکی، شیمیایی و کانی شناسی با روش‌های مختلف قابل شناسایی است. در این مطالعه جهت اطمینان در شناسایی، علاوه بر مطالعات پتروگرافی، از تصاویر BSE میکروسکوپ الکترونی^۱ و همچنین آنالیز نقطه‌ای (EDS) استفاده شد [۳۴]، (شکل‌های D-۵ و E-۶). این کانی با استفاده از تصاویر BSE به خوبی قابل تشخیص بوده و آنالیز EDS نیز با نشان دادن مقادیر بالای Sr و S وجود سلسیت را در نمونه‌های شناسایی شده تأیید می‌کند (شکل ۶).

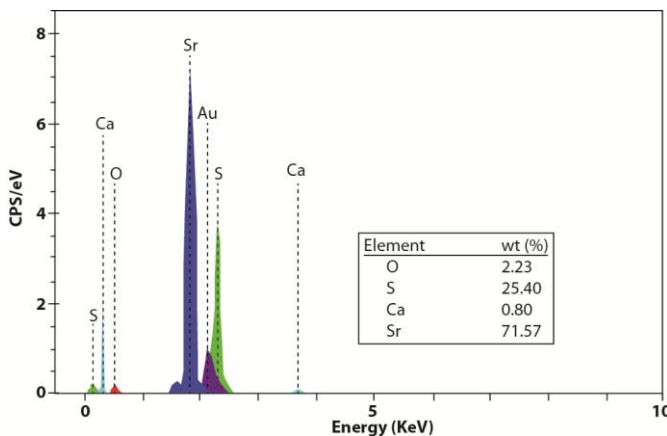
- دولومیتی شدن

دولومیت یا کربنات مضاعف کلسیم و منیزیم با فرمول شیمیایی $\text{CaMg}(\text{CO}_3)_2$ یکی دیگر از محصولات دیاژنری است که در نتیجه فرآیند دولومیتی شدن در بیشتر مراحل دیاژنری، بالاصله پس از رسوب گذاری تا دفن عمیق و از آب‌های با ترکیب شیمیایی مختلف (شامل آب دریا، آب‌های بسیارشور و محلوت آب‌های متوریک و دریایی) تشکیل می‌شود. دولومیت در شرایط هیدروترمال نیز می‌تواند تشکیل شود [۳۵، ۳۶]. دولومیتی شدن به دلیل نقشی که در افزایش حجم فضاهای خالی و امکان ایجاد ارتباط بهتر آن‌ها ایغا می‌کند از فرآیندهای مهم دیاژنری در مخازن کربناته محسوب می‌شود [۲۵]. لذا مطالعات گستره‌ای بر روی انواع دولومیت‌ها، مکانیسم‌های تشکیل و ارتباط آن‌ها با خواص مخزنی سنگ‌های کربناته انجام شده است [۳۶، ۳۷، ۳۸، ۳۹، ۴۰، ۴۱]. در سازند آسماری میدان چشمeh خوش نیز دولومیتی شدن گستره‌ترین و مهم‌ترین پدیده دیاژنری مؤثر بر تخلخل و تراوایی می‌باشد.



شکل ۵: تصاویر مغزه و میکروسکوپی از سیمان‌های ایندریت و سلسیت در میدان مورد مطالعه. (A) سیمان ایندریتی (Cem) و نودول ایندریتی (Nod)؛ (B) نودول ایندریتی (Nod) در نمونه مغزه؛ (C) تصویر میکروسکوپی از سیمان سلسیتی (cel)؛ (D) گسترش سیمان ایندریتی در تصویر میکروسکوپ الکترونی؛ (E) تصویر BSE از سیمان سلسیتی (cel) در نمونه دولومیتی؛ (F) سیمان ایندریتی زیاد (Cem) در فضاهای بین‌دانه‌ای نمونه اوئید گرینستون دولومیتی؛ (G) نودول‌های ایندریتی (Nod) در نمونه مادستون دولومیتی دانه ریز.

¹ Back Scattered Electron Microscopy



شکل ۶: فراوانی عناصر تشکیل دهنده کانی سلسیت در نمودار آنالیز نقطه ای

مطالعات میکروسکوپی نمونه های سازند آسماری نشان می دهد، که با وجود فراوانی زیاد دولومیت ها در این سازند، بخش کمی از این دولومیت ها در مراحل اولیه دیاژنر تشکیل شده اند (شکل های A-۷ و D-۷). این نوع دولومیت ها که در سازند آسماری میدان مورد مطالعه با گسترش محدود، بلورهای ریز، مرزهای مسطح شکل دار^۱ مشخص بوده و اغلب متراکم، قادر تخلخل و همراه با نودولهای اندریتی می باشند. دولومیت های مذکور در پهنه جزر و مدی (رخساره های E1 و E2) دردمای پایین و تحت شرایط سطحی نهشته شده اند [۲۹، ۴۰، ۳۷]. تخلخل و تراوایی مغزه در این نوع دولومیت ها، به ترتیب، کمتر از ۱۰ درصد و ۰/۱ میلی دارسی می باشد.

گروه دوم دولومیت های موجود در سازند آسماری دولومیت های دانه درشت تری هستند که بر اثر رشد آرام بلورها در جریان پیوسته سیالات دولومیتی کننده در دمای پایین به وجود می آیند [۴۲، ۳۶]. در این گروه که فراوان ترین گروه دولومیت ها در سازند آسماری میدان مورد مطالعه محسوب می شوند اندازه بلورهای دولومیت بطور متوسط حدود ۴۰-۵۰ میکرون بوده و اغلب این نوع دولومیت ها متراکم و دارای مرزهای مسطح نیمه شکل دار^۲ تا شکل دار، موزائیکی هماندازه هستند (شکل های B-۷ و E-۷). بلورهای دولومیت با این اندازه دارای منافذ بین بلوری بهتری نسبت به نوع اول بوده و درنتیجه از تخلخل و تراوایی بهتری نیز برخوردار می باشد. به طوری که در صورت عدم تأثیر زیاد تراکم و سیمان های تبخیری، تخلخل و تراوایی مغزه در این نوع دولومیت ها، به بیش از ۲۶/۵ درصد و ۸۵۰ میلی دارسی می رسد.

این نوع دولومیت ها که بیشتر در رخساره های رمپ داخلی (نهشته های محیط لagon) و سدهای بایوکلاستی و اوئیدی سازند آسماری مشاهده می شوند، فراوان ترین نوع دولومیت ها را تشکیل می دهند. عدم وجود فابریک های جانشینی و نبود زون بندي در تصاویر تهیه شده با میکروسکوپ کاتدولومینسانس از این دولومیت ها حاکی از این است که دولومیت های متوسط بلور سازند آسماری در نتیجه تبلور مجدد دولومیت ها ریز بلور در شرایط دفن کم عمق تشکیل شده اند [۴۳، ۳۶]. این دولومیت ها مهم ترین زون های مخزنی را در میدان مورد مطالعه تشکیل می دهند. این زون های دولومیتی ضخیم (به ضخامت چند ده متر) و متخلخل در گستره میدان چشم خوش و حتی تعدادی از میدان های هیدروکربوری فروافتادگی دزفول گسترش دارد [۳۶]. وارن دولومیت های متسط بلوری را که در نهشته های حاشیه پلاتفرم کربناته و همراه با نهشته های تبخیری هم چون اندریت تشکیل می شوند را به مدل آمیختگی آب های خیلی شور- دریایی- متئوریک نسبت می دهد و معتقد است که این نوع دولومیت در واحد های چند ده تا چند صد متری در منطقه وسیعی گسترش می یابند.

¹ Planar-E

² Planar-S

نوع سوم دولومیت‌های تشکیل شده در سازند آسماری در میدان مورد مطالعه دانه درشت‌تر از دو نوع قبلی است. این نوع دولومیت دارای بلورهای درشت در اندازه ۱۰۰ میکرون و بزرگ‌تر و مرزهای نیمه‌شکل دار می‌باشد (شکل‌های C-۷ و F-۷). این نوع دولومیت‌های درشت بلور در سازند آسماری فراوانی زیادی نداشته و به طور محلی در تعدادی از نمونه‌ها در مجاورت استیلویلت‌ها و زون‌های متأثر از تراکم زیاد مشاهده شده است. این دولومیت‌ها دارای بافت مخرب^۱ بوده و بافت رسویی اولیه سنگ میزبان را کاملاً^۲ از بین برده‌اند. بسیاری از این دولومیت‌ها دارای هسته کدر^۳ و حاشیه شفاف^۴ می‌باشند (شکل C-۷). با توجه به مشاهدات مذکور، این نوع دولومیت‌ها در برخی افق‌ها احتمالاً در اثر تبلور دوباره دولومیت‌های انواع قبلی طی تدفین تشکیل شده‌اند [۴۴]. دولومیت‌های درشت‌بلور تشکیل شده در سازند آسماری با توجه به شکل غیرصفحه‌ای و خاموشی موجی و فضاهای کم بین‌بلوری به دولومیت‌های تشکیل شده در درجه حرارت و عمق بالا (دولومیت‌های تدفینی) نسبت داده شدند [۴۴, ۴۵, ۳۶].

تفاوت در بافت، نوع و ترکیب کانی‌شناسی دانه‌ها، ترکیب شیمیایی سیالات دولومیتساز و نرخ متفاوت دولومیتی شدن در سازند آسماری میدان مورد مطالعه سبب شده که حالت‌های مختلف از دولومیتی شدن در ارتباط با بافت سنگ مشاهده شود [۴۶, ۳]. این حالت‌ها شامل: (۱) دولومیتی شدن با حفظ فابریک اولیه سنگ^۵ و (۲) دولومیتی شدن مخرب یا از بین برنده فابریک سنگ^۶ هستند. در حالت اول ممکن است سنگ کاملاً دولومیتی شده باشد (شکل G-۷) یا اینکه دولومیتی شدن انتخابی^۷ بوده و دانه‌ها به تنها بی دولومیتی شده باشند (شکل H-۷). در حالت اول فابریک اولیه سنگ حفظ شده و بنابراین بافت رسویی اولیه قابل تشخیص می‌باشد. در حالی که در حالت دوم یا دولومیتی شدن مخرب بافت اولیه کاملاً از بین رفته و قابل تشخیص نمی‌باشد (شکل I-۷).

- توالی پاراژنزی فرآیندهای دیاژنزی

مطالعه پدیده‌های دیاژنزی در سازند آسماری میدان مورد مطالعه نشان می‌دهد که این پدیده‌ها فرآیندهای خطی، یک طرفه و با تأثیر مشابه و یکسان بر روی خواص مخزنی نیستند بلکه فرآیندهای متنوع و مستمر می‌هستند که از زمان رسوب‌گذاری تا اعمق تدفین زیاد و حتی پس از بالاًمدگی به دفعات نهشته‌های کربناته را تحت تأثیر قرار داده و وقوع هریک ممکن است بر وقوع فرآیند دیگر تأثیر داشته و شدت عملکرد فرآیندهای دیگر را متأثر سازد. بنابراین علاوه بر شناخت این فرآیندها در مخزن، شناخت توالی یا تقدم و تأخیر آن‌ها نیز موضوع مهمی در بازسازی شرایط مخزن و ارتباط آن با زمان مهاجرت هیدروکربور به داخل آن می‌باشد [۵].

¹ Destructive

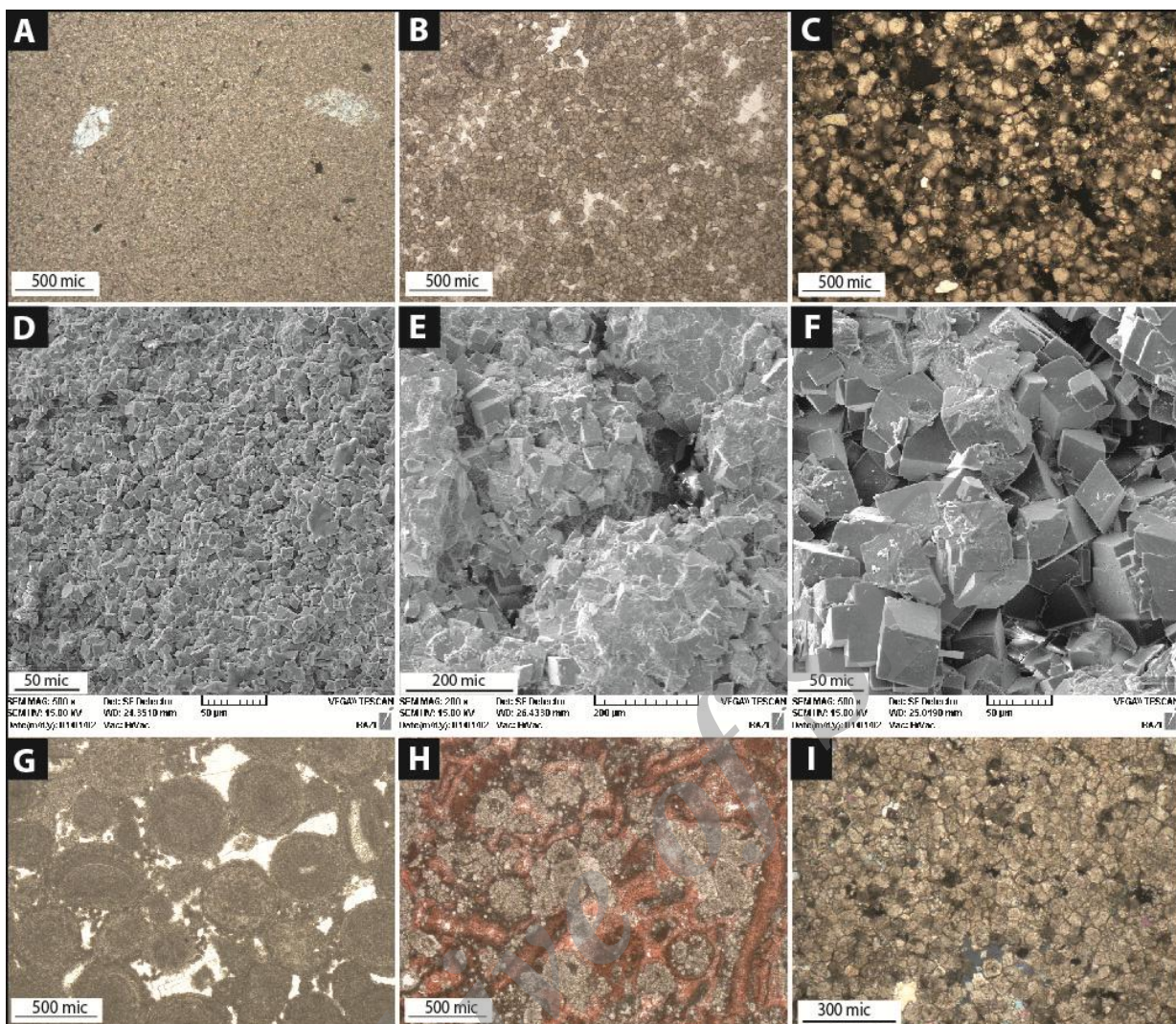
² Cloudy core

³ Clear rim

⁴ Fabric retentive

⁵ Fabric destructive

⁶ Selective dolomitization



شکل ۷: تصاویر میکروسکوپی از نمونه‌های دولومیتی سازند آسماری با اندازه‌های بلوری و بافت مختلف در میدان مورد مطالعه. (A) تصویر میکروسکوپی از مادستون دولومیتی خیلی دانه‌ریز یا میکروکریستالین با اندازه بلورهای ۴ میکرون و کوچکتر؛ (B) دولومیت دانه متوسط با اندازه بلورهای حدود ۵۰ میکرون؛ (C) تصویر میکروسکوپی از دولومیت دانه درشت با اندازه بلورهای بزرگتر از ۵۰ میکرون؛ (D, E, F) تصاویر میکروسکوپ الکترونی از دولومیتهای دانه‌ریز، متوسط و درشت؛ (G) دولومیتی شدن انتخابی توسط فابریک با حفظ بافت اولیه؛ (H) دولومیتی‌شدن انتخابی؛ (I) دولومیتی شدن مخرب که بافت اولیه یک رسب از بین رفته است.

همزمان با رسوب‌گذاری نهشته‌های کربناته سازند آسماری و یا کمی پس از رسوب‌گذاری آنها، فعالیت موجودات باعث ایجاد آشفتگی‌هایی در رسوبات گردیده که با آثاری هم‌چون تغییرات محلی رنگ و بافت رسوبات قابل تشخیص است. فعالیت‌های زیستی سیانوباکتری‌ها و جلبک‌ها باعث تشکیل پوشش‌های میکرایتی در اطراف برخی از دانه‌های اسکلتی و اوئیدها شده و مراحل اولیه تراکم مکانیکی باعث تراکم اولیه و خروج بخش زیادی از آب درون منفذی و نزدیک شدن دانه‌ها شده است. در این مرحله، آب دریا با نسبت Mg/Ca بالا، سیمان‌های دریابی نوع حاشیه‌ای هم‌ضخامت یا ایزوپکوس را اطراف قطعات اسکلتی و غیراسکلتی به‌ویژه اوئیدها تشکیل داده که تا اندازه‌ای از تراکم بیشتر رسوبات در مراحل بعدی دیاژنز جلوگیری کرده است. در ادامه، سیمان‌های درشت بلور کلیست اسپاری بخش زیادی از فضاهای بین‌دانه‌ای و درون دانه‌ای موجود در بسیاری از افق‌های گرینستونی رسوبات آسماری فراگرفته‌اند. فاصله زیاد دانه‌ها یا حجم زیاد این نوع سیمان‌ها در فضاهای بین‌دانه‌ای و درون دانه‌ای که نشان‌دهنده تأثیر کم تراکم بر رسوبات تا این مرحله می‌باشد، مؤید تشکیل

این نوع سیمان‌ها در محیط دریایی یا مرحل اولیه دیاژنر است. در برخی نمونه‌ها این نوع سیمان‌ها در دیواره داخلی و خارجی قطعات اسکلتی بلا فاصله پس از تشکیل سیمان میکرایتی و دانه‌ریز دریایی تشکیل شده‌اند. در بخش‌های حاشیه‌ای و کم عمق رمپ کربناته آسماری (پهنه جزر و مدی) دولومیت‌های دانه‌ریز (موسوم به دولومیت‌های اولیه) در مراحل آغازین دیاژنر تشکیل شده‌اند. شرایط آب و هوایی خشک حاکم بر حوضه رسوی زاگرس در زمان میوسن باعث تشکیل گسترده نودول‌های ایندریتی در نهشته‌های کم عمق رمپ داخلی بهویژه در بخش‌های محدود شده و خیلی شور لاغون و حاشیه لاغون شده است. با توجه به اشغال فضاهای بین‌دانه‌ای زیاد توسط سیمان ایندریتی در برخی نمونه‌ها و ارتباط این نوع سیمان با سیمان‌های دریایی اولیه نوع ایزوپکوس و اشکال تراکم مکانیکی و شیمیایی، به نظر می‌رسد که بخشی از سیمان‌های ایندریتی نیز در اعمق تدفین کم تشکیل شده باشد. هم‌زمان با وقوع پدیده‌های دیاژنری مذکور، در محیط فرآتیک دریایی تا عمق تدفین کم، تراکم به عنوان پدیده دیاژنری مستمر رسوبات را تحت تأثیر قرار داده و باعث کاهش بیشتر حجم فضای بین‌دانه‌ای گردیده است.

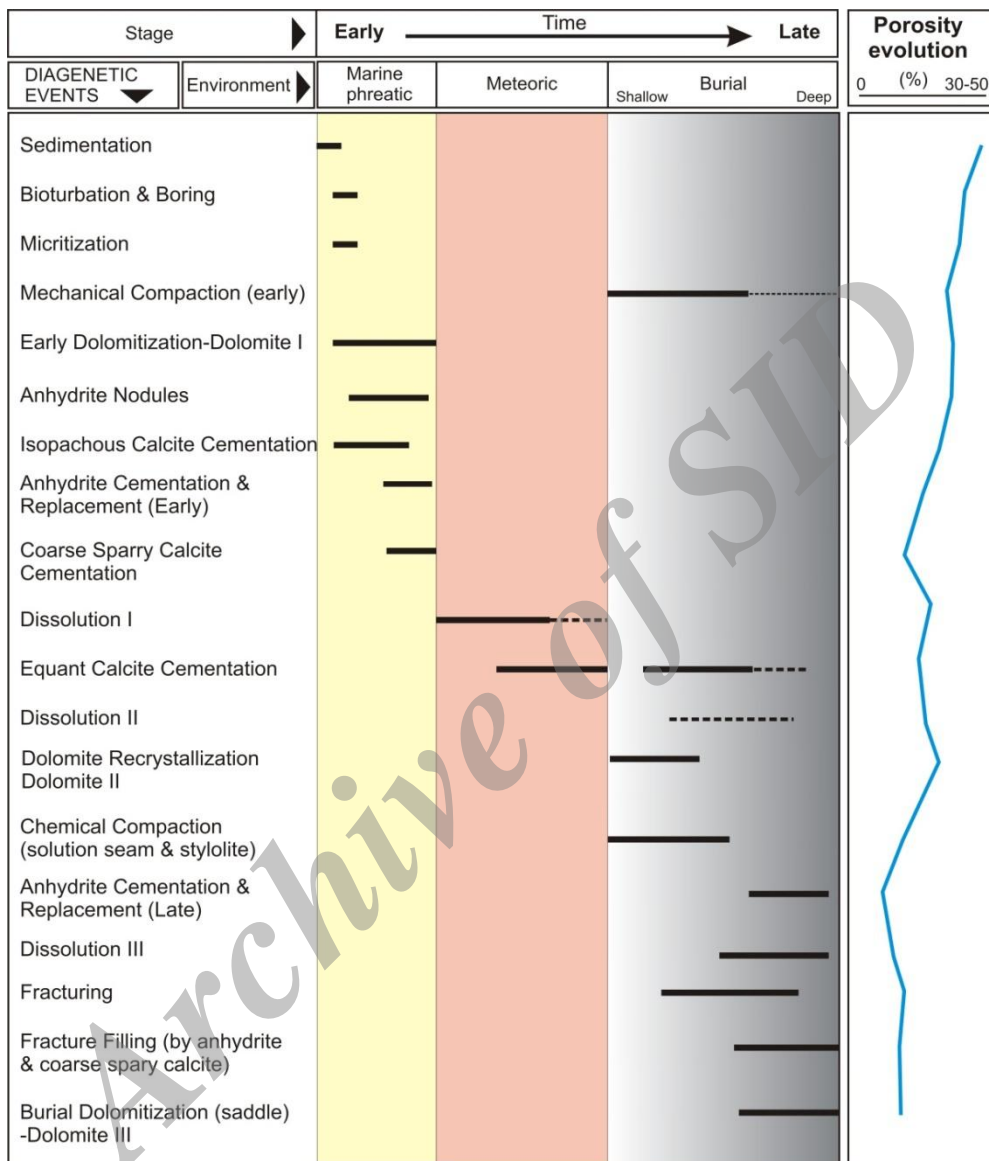
فرآیندهای دیاژنری در محیط متئوریک ادامه پیدا می‌کند. نهشته‌هایی که تحت تأثیر دیاژنر در محیط فرآتیک دریایی تا عمق تدفین کم، متحمل تراکم و سیمانی شدن اولیه (سیمان‌های ایزوپکوس و بخشی از سیمان‌های اسپاری درشت‌بلور) گردیده بودند، در این مرحله متأثر از نفوذ آب‌های متئوریک و تحت اشباع نسبت به کربنات کلسیم گردیده و بخشی از اجزاء اسکلتی و غیراسکلتی (اوئیدها) با ترکیب کانی‌شناسی ناپایدار (آرگونیت و کلسیت با منیزیم بالا) موجود در آنها حل می‌شود. لذا مهم‌ترین پدیده دیاژنری در این محیط، انحلال و تشکیل انواع تخلخل‌های ثانویه بین‌دانه‌ای، درون‌دانه‌ای، قالبی و حفره‌ای می‌باشد. البته مشاهدات پتروگرافی و رابطه بین اشکال مختلف دیاژنری در سازند آسماری نشان می‌دهد که تمام فضاهای خالی انحلالی توسط آب‌های متئوریک بوجود نیامده و بخشی از این تخلخل‌های انحلالی در مرحله دیاژنر تدفینی ایجاد شده‌اند. انحلال در این محیط "عدمتأ" از نوع انحلال انتخابی^۱ بوده و تخلخل‌های قالبی اسکلتی و قالبی اوئیدی را بهویژه در رخساره‌های دانه‌پستیبان متعلق به محیط رسوی پرانرژی تشکیل داده است. به نظر می‌رسد که بخشی از سیمان‌های کلسیتی نوع هم‌بعد در این محیط دیاژنری فضاهای خالی بین‌دانه‌ای و درون‌دانه‌ای را فرا گرفته باشند. در ادامه فرآیند تراکم، ضمن کاهش بیشتر فضاهای بین‌دانه‌ای، آلومک‌های کربناته به هم نزدیک‌تر شده و مرزهای مسطح تا نیمه مسطح بین آن‌ها ایجاد می‌شود. در این محله هنوز آثاری از تراکم شیمیایی و تشکیل استیلولیت مشاهده نمی‌شود. با ادامه تدفین، ورود سورابه‌های با منیزیم بالا سبب شده تا نسبت Mg/Ca افزایش یافته و دولومیتی شدن رخ دهد. به نظر می‌رسد که دولومیت‌های سازند آسماری در میدان مورد مطالعه اکثراً طبق این مدل تشکیل شده باشند.

ظهور اشکال تراکم شیمیایی هم‌چون مرزهای محدب- مقعر دانه‌ها، رگچه‌های انحلالی و نهایتاً "استیلولیت‌ها در سازند آسماری نشان دهنده دیاژنر محیط تدفینی می‌باشد. تراکم مکانیکی شدید در برخی زون‌های اوئیدگرینستونی باعث کاهش چشم‌گیر تخلخل و ایجاد فابریک درهم شده است. البته در برخی افق‌های اوئید/ بایوکلاست گرینستون، دولومیتی شدن و تشکیل وسیع سیمان دریایی ایزوپکوس در اطراف قطعات اسکلتی و اوئیدها از تراکم مکانیکی زیاد جلوگیری کرده است. بخشی از سیمان‌های اسپاری هم‌بعد بهویژه سیمان‌های مرتبط با انحلال فشاری (در مجاورت زون‌های استیلولیتی) و هم‌چنین سیمان‌های ایندریتی در شرایط تدفینی تشکیل شده‌اند. تشکیل دولومیت‌های مخرب با بلورهای بزرگ (بزرگتر از ۱۰۰ میکرون) و نیمه‌شکل‌دار، یکی دیگر از پدیده‌های دیاژنری است که در شرایط تدفین عمیق رخ می‌دهد. شکستگی‌ها که تمام اجزاء تشکیل‌دهنده سنگ اعم از دانه‌ها، ماتریکس، سیمان و اشکال دیاژنری هم‌چون دانه‌های مترکم شده و استیلولیت‌ها را

¹ Selective dissolution

قطع می‌کنند، و هم‌چنین سیمان‌های کلسیت اسپاری پرکننده شکستگی‌ها جزء آخرین پدیده‌های محیط دیاژنزی دفن عمیق می‌باشد.

در شکل ۸ توالی پاراژنزی پدیده‌های دیاژنزی در بخش‌های کربناته سازند آسماری در میدان چشمه‌خوش و ارتباط آن‌ها با زمان، عمق تدفین و تغییرات مقدار تخلخل در این سازند ارائه شده است.



شکل ۸: توالی پاراژنزی فرآیندهای دیاژنزی در سازند آسماری میدان چشمه‌خوش مطالعه

۵. زونبندی دیاژنزی مخزن آسماری

به منظور بررسی ارتباط پدیده‌های دیاژنزی با خواص پتروفیزیکی (تخلخل و تراوایی مغزه و اشباع شدگی سیال)، نوع و مقدار تخلخل قابل روئیت، سنگ شناسی، بافت و رخساره رسوبی در توالی کربناته سازند آسماری، نمودار تغییر پارامترهای مذکور در یکی از چاههای میدان مطالعه ترسیم گردید (شکل ۹). این نمودار با هدف ارائه زونبندی دیاژنزی در بخش کربناته

سازند آسماری ارائه شد. محدوده‌های عمقی که در آن پارامترهای دیاژنزی خاصی باعث تغییر در خواص پتروفیزیکی افق - های با بافت، رخساره و سنگ‌شناسی متفاوت شده‌اند تفکیک و به عنوان زون‌های دیاژنزی^۱ معرفی گردیدند. با توجه به تفاوت‌های اساسی در پدیده‌های دیاژنزی کنترل کننده کیفیت مخزنی در آهک‌ها و دولومیت‌ها، در تفکیک زون‌های دیاژنزی مرز سنگ‌شناسی آهک و دولومیت مورد توجه بوده است.

تراکم که به دو شکل مکانیکی و شیمیایی ظاهر می‌شود هم‌چون سایر پدیده‌های دیاژنزی از زمان رسوب گذاری آغاز می‌شود، لذا تمام سنگ‌های رسوبی بر حسب تاریخچه تدفین با شدت‌های متفاوتی تحت تاثیر این پدیده قرار گرفته‌اند اما در این زون‌بندی تاثیر یا عدم تاثیر تراکم بر یک نمونه یا محدوده عمقی بر مبنای وجود یا عدم وجود آثار و علائم تراکم مکانیکی (درهم‌رفتگی و شکستگی دانه‌ها) و شیمیایی (رگچه‌های انحلالی و استیلوولیت) مشخص گردید. به عبارت دیگر طبیعی است که کل توالی کربناته سازند آسماری متاثر از فرآیند تراکم بوده اما در زون‌های مشخصی تاثیر تراکم بیشتر بوده و اثرات آن به اشکال مشخصی قابل برداشت است. حال آن‌که نبود این سیمان‌ها یا اشکال دیاژنزی نشان‌دهنده عدم تاثیر این پدیده نمی‌باشد بلکه شدت کم عملکرد آن در این بخش‌ها محدود به از دست دادن آب، فشردگی ماتریکس سنگ و کاهش فضاهای بین‌دانه-ای می‌باشد.

لازم به ذکر است که عدم وجود فضاهای خالی انحلالی در یک بخش از توالی کربناته، دلیل بر عدم عملکرد پدیده انحلال در آن بخش نمی‌باشد چرا که در طی تاریخچه رسوب گذاری و تدفین، نهشته‌های کربناته می‌توانند به دفعات در معرض فرآیندهای انحلال و سیمانی‌شدن قرار گیرند. اما در هر صورت به منظور بررسی ارتباط شدت عملکرد پدیده انحلال با رخساره‌های رسوبی سازند آسماری، مجموع فراوان‌ترین اشکال تخلخل انحلالی (قالبی و حفره‌ای) در هر رخساره به عنوان شاخصی از شدت انحلال در آن رخساره ارائه گردید.

به منظور بررسی ارتباط بین شدت دولومیتی‌شدن و کیفیت مخزنی در سازند آسماری میدان چشم‌خوش، شاخص دولومیتی - شدن^۲ (با استفاده از رابطه ۱) محاسبه و نمودار تغییرات آن در کنار سایر پارامترها ترسیم گردید.

$$\text{رابطه (۱)} \quad \frac{\text{شاخص دولومیتی‌شدن}}{\text{کلیست} + \text{دولومیت}} = \frac{100}{\text{کلیست} + \text{دولومیت}}$$

شکل ۹ نشان می‌دهد که تأثیرپذیده‌های متنوع دیاژنزی با شدت‌های متفاوت بر سازند آسماری باعث تشکیل زون‌های باکیفیت مخزنی متفاوت شده است. زون‌های معرفی شده در محدوده‌های عمقی دارای مغزه، بر اساس افزایش عمق از ۱ تا ۳۲ نام‌گذاری شدند (شکل ۹). پس از تفکیک زون‌های با فرآیندهای دیاژنسی متفاوت، مقادیر متوسط پارامترهای کمی هم-چون انحلال، تخلخل موثر لاغ، تخلخل و تراوایی مغزه و اشباع شدگی نفت نیز برای هریک از زون‌ها ترسیم گردید (شکل ۹).

با توجه به ضخیم‌تر بودن توالی دولومیتی سازند آسماری از تعداد ۳۲ زون معرفی شده تعداد ۲۱ زون به بخش‌های دولومیتی و ۱۱ زون به بخش‌های آهکی تعلق دارد.

- زون‌های دیاژنسی در بخش‌های دولومیتی

همان‌طور که در شکل ۹ مشاهده می‌شود کیفیت مخزنی در افق‌های دولومیتی غالباً "متاثر از درصد دولومیتی‌شدن، شدت تأثیر تراکم و سیمانی‌شدن تبخیری می‌باشد. بطورکلی مقایسه نمودار تغییرات تخلخل، تراوایی و بهویژه اشباع نفت با سنگ‌شناسی

¹ Diagenetic zones or DZ

² Dolomitization index

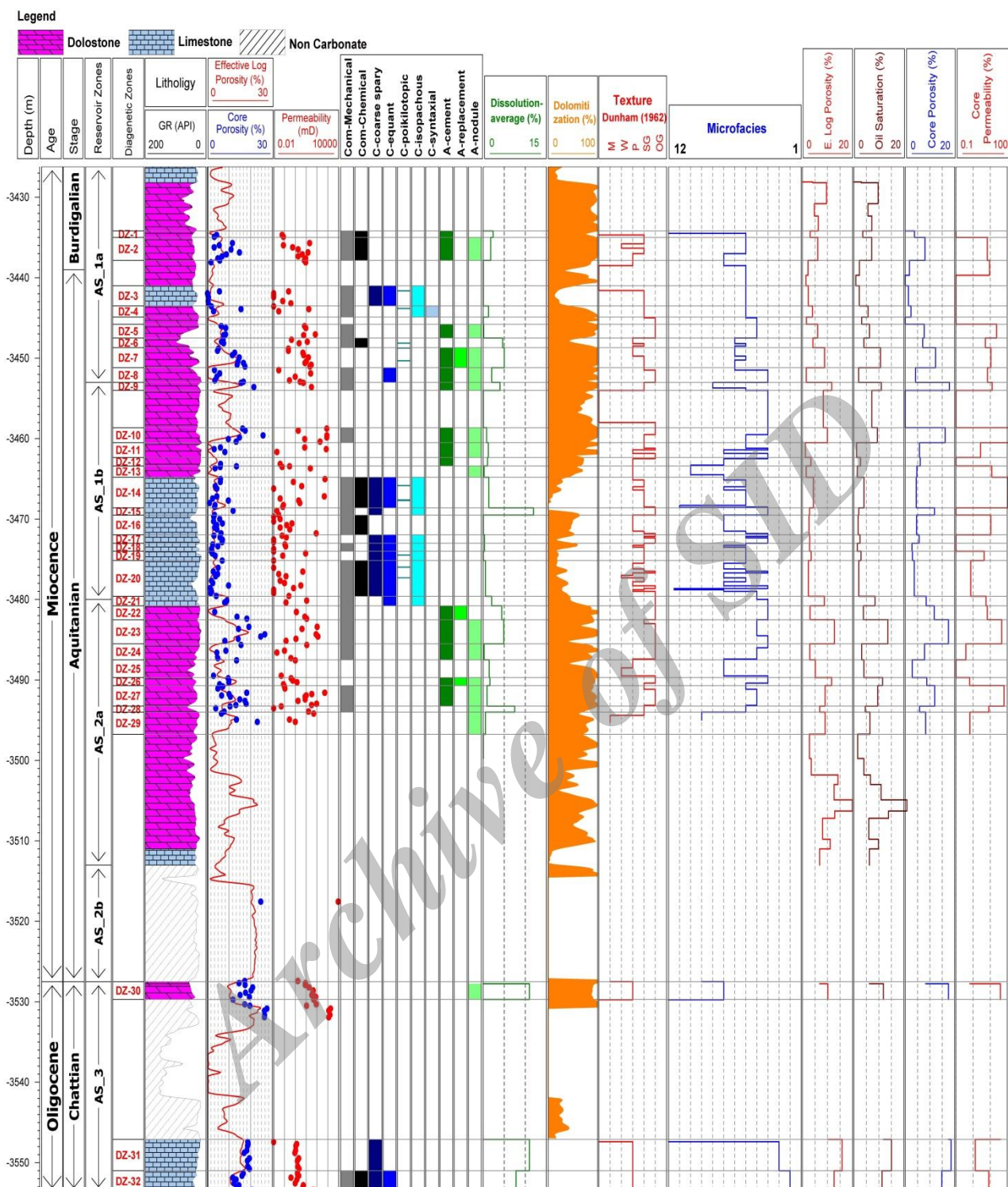
افق‌های کربناته سازند آسماری نشان می‌دهد که فرآیند دولومیتی شدن از طریق ایجاد تخلخل بین‌بلوری و ایجاد شبکه بهم-پیوسته‌ای از فضاهای خالی از یک سو و کاهش تاثیر پدیده تراکم از سوی دیگر باعث افزایش تخلخل و تراوایی و کیفیت مخزنی شده است. در زون‌هایی که دولومیتی شدن در بافت دانه-پشتیبان رخ داده و سیمان انیدریتی گسترش کمی دارد کیفیت مخزنی به مراتب بیشتر می‌باشد (همچون زون‌های ۲۳، ۲۷، ۳۰ و ۱۰)، (شکل A-۱۰). وجود تخلخل‌های انحلالی (قالبی و حفره‌ای) در این شبکه فضاهای خالی بین‌بلوری باعث افزایش بیشتر مقادیر تخلخل و تراوایی خواهد شد. در افق‌های دولومیتی که سیمانی شدن انیدریت و یا تراکم گسترش زیادی یافته است بخش عمدۀ ای از فضاهای خالی از بین رفته است (همچون زون‌های ۱۲، ۱۱، ۱۳ و ۲۴)، (شکل‌های B-۱۰ و C-۱۰).

- زون‌های دیاژنزی در بخش‌های آهکی

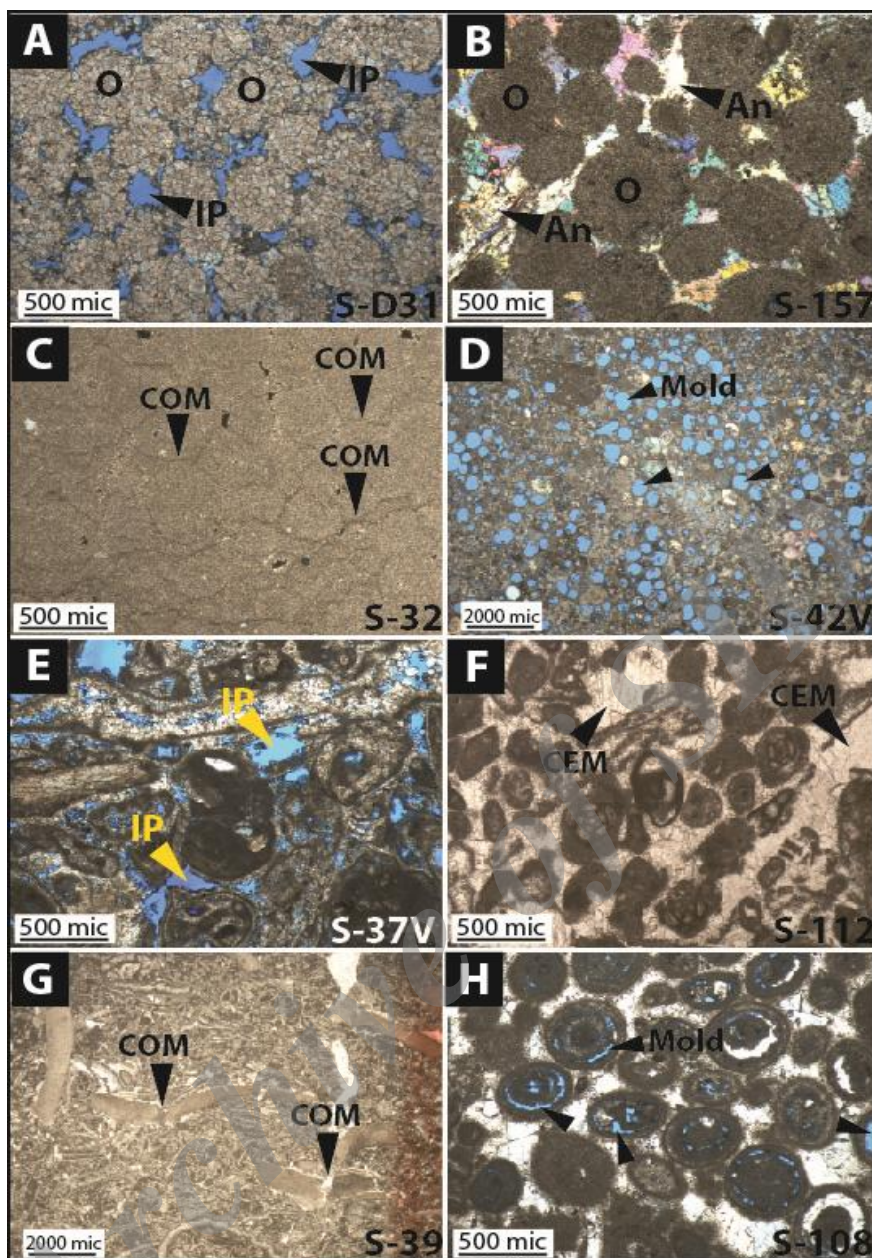
مقایسه نتایج مطالعات پتروگرافی با پتروفیزیکی در بخش‌های آهکی سازند آسماری نشان می‌دهد که عدم وجود دو پدیده دیاژنسی فراگیر و تأثیرگذار بر کیفیت مخزنی همچون دولومیتی شدن و سیمانی شدن انیدریتی باعث شده تا پیچیدگی ارتباط خواص مخزنی با پدیده‌های دیاژنسی در این افق‌ها کمتر باشد.

در بخش‌های آهکی این سازند مهم‌ترین پدیده‌های دیاژنسی کترول‌کننده تخلخل و تراوایی سیمانی شدن کلسیتی، تراکم و انحلال می‌باشند. در بسیاری از افق‌های آهکی سیمانی شدن شدید کلسیتی (به‌ویژه سیمان‌های اسپاری درشت، هم بعد و فراگیرنده) و تراکم باعث شده که حتی در صورت تأثیر انحلال و تشکیل فضاهای خالی قالبی و حفره‌ای، ارتباط مناسبی بین فضاهای خالی نبوده و تراوایی افزایش قابل توجهی نیابد (F-۱۰ و G-۱۰). به عنوان مثال در زون ۱۵ (گرینستون‌های اوئیدی) با وجود تأثیر شدید انحلال و تشکیل تخلخل قالبی اوئیدی تا ۱۵ درصد، سیمان کلسیت اسپاری فضاهای بین اوئیدی را فراگرفته و متوسط تراوایی را به ۰/۰۲ میلی‌دارسی کاهش داده است (شکل H-۱۰). تأثیر شدید تراکم و سیمانی شدن کلسیتی در برخی از زون‌ها همچون زون‌های ۳، ۲۰، ۱۸، ۱۷ و ۱۹ باعث کاهش شدید تخلخل و تراوایی (به کمتر از ۳ درصد و ۰/۷ میلی‌دارسی) و تبدیل آن‌ها به افق‌های غیرمخزنی شده است. از سوی دیگر انحلال گسترده در زون‌های ۳۱ و ۳۲ و وجود تخلخل بین‌دانه‌ای در پکستون‌های اسکلتی این زون باعث ارتباط فضاهای خالی انحلالی گردیده و تراوایی را افزایش داده به‌طوری‌که این زون‌ها از بهترین زون‌های تولیدکننده نفت در میدان مورد مطالعه محسوب می‌شوند.

با توجه به مهم‌ترین پدیده‌های دیاژنسی کترول‌کننده تراوایی و قابلیت تولید از توالی کربناته سازند آسماری در میدان مورد مطالعه، نمودار لوزی‌شکلی که در گوشه‌های آن تراکم، سیمانی شدن، انحلال و تخلخل بین‌دانه‌ای قرار گرفته است طراحی گردید (شکل ۱۱). در این نمودار، محور تخلخل بین‌دانه‌ای (شامل تخلخل بین‌ذرره‌ای و بین‌بلوری) و انحلال در محدوده ۰ تا ۲۰ درصد مدرج گردید. درصد انحلال دربرگیرنده مجموع فضاهای خالی قالبی و حفره‌ای می‌باشد. تراکم و سیمانی شدن، بر حسب شدت تأثیر، از ۰ تا ۵ تقسیم‌بندی شده است (جدول ۲).



شکل ۹: نمودار ارتباط زونهای دیاژنی سازند آسماری با خواص مخزنی آن (تخلخل، تراویج و اشباع نفت)



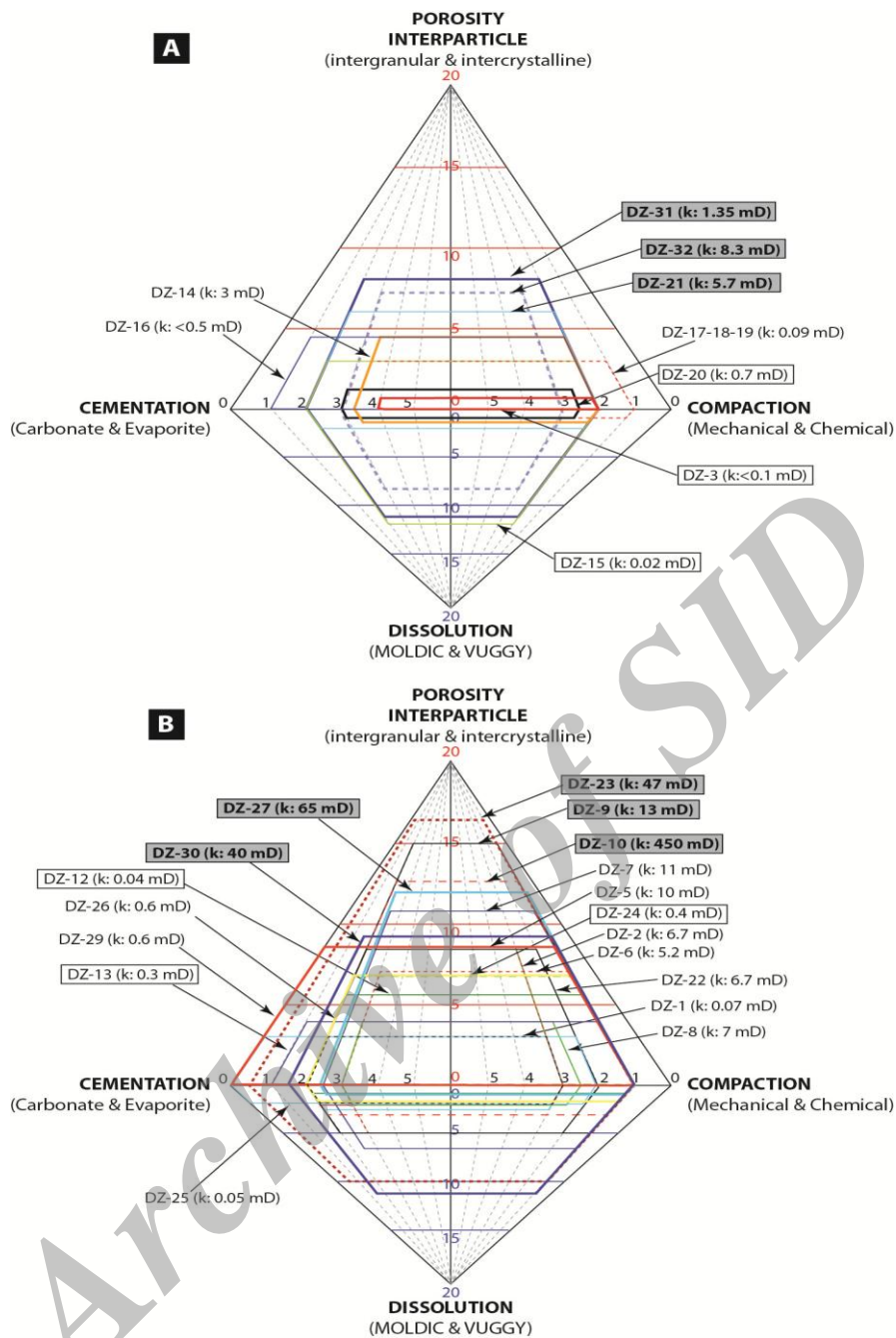
شکل ۱۰: تصاویر میکروسکوپی از نمونه‌های زون‌های دیازنی سازند آسماری. (A) اوئید گرینستون دولومیتی دارای تخلخل بین‌دانه‌ای زیاد (IP)، با تراکم و سیمانی شدن محدود، تخلخل مغزه $18/2$ درصد و تراوایی مغزه 523 میلی‌دارسی. (B) اوئید گرینستون دولومیتی دارای تخلخل بین‌دانه‌ای بسیار کم، با سیمان اندیزی شدید (An)، تخلخل مغزه $5/5$ درصد و تراوایی مغزه $1/1$ میلی‌دارسی. (C) اوئید گرینستون دولومیتی فاقد تخلخل بین‌دانه‌ای، با تراکم شدید، تخلخل مغزه $3/9$ درصد و تراوایی مغزه $0/3$ میلی‌دارسی. (D) اوئید گرینستون دولومیتی دارای تخلخل قالبی زیاد (Mold)، ارتباط بسیار محدود فضاهای خالی قالبی، تخلخل مغزه 16 درصد و تراوایی مغزه $7/0$ میلی‌دارسی. (E) آهک اسکلتی با بافت گرینستون دارای تخلخل بین‌دانه‌ای زیاد (IP)، با آثار محدود تراکم و سیمانی شدن، تخلخل مغزه $12/4$ درصد و تراوایی مغزه 161 میلی‌دارسی. (F) آهک اسکلتی با بافت گرینستون، فاقد تخلخل بین‌دانه‌ای، با سیمانی شدن شدید از نوع کلسیت اسپاری فراگیرنده (CEM)، تخلخل مغزه $1/9$ درصد و تراوایی مغزه $0/01$ میلی‌دارسی. (G) آهک اسکلتی با بافت پکستون، با تخلخل بین‌دانه‌ای محدود و تراکم مکانیکی شدید (COM) و سیمانی شدن کلسیتی، تخلخل مغزه $5/08$ درصد و تراوایی مغزه $0/23$ میلی‌دارسی. (H) آهک اوئیدی با بافت گرینستون، فاقد تخلخل بین‌دانه‌ای، با سیمانی شدن شدید و تخلخل قالبی در داخل اوئیدها (Mold)، تخلخل مغزه $6/9$ درصد و تراوایی مغزه $0/03$ میلی‌دارسی.

جدول ۲: محدوده تغییرات شدت تراکم و سیمانی شدن

سیمانی شدن (%)	شدت تراکم	
۰-۵	بدون تراکم (رسوب کربناته)	۰
۵-۱۰	سنگ کربناته فاقد آثار تراکم	۱
۱۰-۲۰	آثار تراکم مکانیکی محدود	۲
۲۰-۳۰	تراکم مکانیکی زیاد	۳
۳۰-۴۰	آثار تراکم مکانیکی و شیمیایی	۴
۴۰-۵۰	تراکم مکانیکی و شیمیایی شدید	۵

مطابق این نمودار با افزایش شدت تراکم و یا درصد سیمان، درصد بیشتری از تخلخل بین‌دانه‌ای کاهش پیدا کرده و تراوایی سنگ نیز کم می‌شود (زون‌های ۳ و ۲۰)، (شکل‌های B-۱۰، C-۱۰، F-۱۰ و G-۱۰). در مقابل کاهش شدت تأثیر تراکم و سیمانی شدن و وجود تخلخل بین‌دانه‌ای باعث افزایش تراوایی می‌گردد (زون‌های ۲۳، ۲۷، ۳۰ و ۱۰)، (شکل‌های A-۱۰ و E-۱۰). انحلال و گسترش تخلخل انحلالی (قالبی و حفره‌ای) درصورتی که توسط فضاهای خالی مفید از نوع بین‌دانه‌ای و بین‌بلوری با یکدیگر ارتباط پیدا نکنند تأثیری بر افزایش تراوایی نخواهد داشت (زون ۱۵)، (شکل‌های D-۱۰ و H-۱۰). اما در صورت ارتباط فضاهای انحلالی با یکدیگر تراوایی افزایش قابل توجهی پیدا خواهد کرد (زون‌های ۳۱ و ۳۲).

کیفیت مخزنی سازند آسماری در میدان چشم‌خوش غالباً "توسط پدیده‌های دیاژنری کنترل شده و بنابراین مهم‌ترین بخش در مدل‌سازی استاتیک این مخزن و تعیین روند توزیع پارامترهای مخزنی، مطالعات دیاژنری و تعیین زون‌های دیاژنری در گستره میدان می‌باشد.



شکل ۱۱: دیاگرام ارتباط بین پدیده‌های مهم دیاژنزی (تراکم، سیمانی شدن و انحلال) با خواص مخزنی (تخلخل و تراوایی) در زون‌های دیاژنزی سازند آسماری در میدان چشمeh خوش. دیاگرام A مربوط به زون‌های آهکی و دیاگرام B مربوط به زون‌های دولومیتی می‌باشد.

۶. نتیجه‌گیری

محدوده وسیع تغییرات تخلخل و تراوایی در غالب رخساره‌های سازند آسماری حاکی از عدم تبعیت خواص مخزنی از رخساره‌های رسوی در این سازند است. بنابراین خواص مخزنی سازند آسماری در میدان مورد مطالعه توسعه فرآیندهای دیاژنزی کترول می‌شود.

مقایسه مقادیر متوسط و حداقل تخلخل و تراوایی در افق‌های دولومیتی با افق‌های آهکی نشان می‌دهد که دولومیتی شدن مهم‌ترین پدیده دیاژنزی افزایش دهنده تخلخل و تراوایی در این سازند می‌باشد. دولومیت‌های متوسط بلور که اثر تبلور مجدد

دولومیت‌های ریزتر و در طی تدفین در اعماق کم تشکیل شده‌اند، از بیشترین ضخامت و گسترش و بیشترین مقادیر تخلخل و تراوایی برخوردار هستند.

تراکم و تشکیل سیمان‌های تبخیری نظیر انیدریت و سلسیت مهم‌ترین پدیده‌های دیاژنزی کاهش‌دهنده تخلخل و تراوایی در افق‌های دولومیتی این سازند می‌باشند. سیمان انیدریتی و انیدریت جایگزینی با اشغال انواع فضاهای بین‌دانه‌ای، قالبی، حفره‌ای، بین‌بلوری و بعضًا "کانالی نقش مهمی در کاهش مقدار تخلخل و تراوایی بخش‌های دولومیتی این سازند دارد. از طرف دیگر مشاهدات میکروسکوپی و داده‌های پتروفیزیکی از زون‌های دارای نودول انیدریتی نشان می‌دهد که تشکیل انیدریت به شکل نودول تاثیر چندانی بر کیفیت مخزنی سازند آسماری ندارد.

بنابراین زون‌های دولومیتی دانه متوسط که تأثیر تراکم و تشکیل سیمان تبخیری در آن‌ها کمتر بوده، بیشترین مقادیر تخلخل و تراوایی را داشته و بهترین افق‌های مخزنی محسوب می‌شوند.

تراکم و تشکیل سیمان کلسیتی مهم‌ترین فرآیندهای کاهش‌دهنده تخلخل و تراوایی در افق‌های آهکی سازند آسماری هستند. در صورتی که فضاهای خالی قالبی و حفره‌ای بتواند از طریق وجود شبکه فضاهای بین‌دانه‌ای و یا بین‌بلوری با یکدیگر ارتباط داشته باشد، فرآیند انحلال می‌تواند نقش مهمی در افزایش تخلخل و تراوایی داشته باشد (مانند زون ۳۱) اما در صورت عدم امکان ارتباط با یکدیگر، این فضاهای انحالی نقشی در بهبود کیفیت مخزنی نخواهد داشت (مانند زون ۱۵).

شكل و نحوه آرایش سیمان حاشیه‌ای هم ضخامت در اطراف دانه‌ها سبب می‌شود که با وجود فراوانی آن‌ها در اکثر رخساره‌های گرینستونی، تأثیر کمی بر روی کاهش تخلخل و در نتیجه تراوایی سنگ داشته باشد. حال آن‌که سیمان‌های کلسیت اسپاری، هم‌بعد و فرآگیرنده، که درصد زیادی از فضاهای خالی را اشغال می‌نمایند، نقش مهمی در تضعیف کیفیت مخزنی سازند آسماری دارند.

هیچ یک از پدیده‌های دیاژنزی به تنهایی کنترل کننده کیفیت مخزنی نبوده بلکه تلفیق این پدیده‌های دیاژنزی است که باعث بهبود یا تضعیف خواص مخزنی می‌گردد. در هر حال شدت تأثیر برخی از پدیده‌های دیاژنزی می‌تواند در زون خاصی بیشتر بوده و بیشتر از سایر پدیده‌های دیاژنزی کیفیت مخزنی را متأثر سازد.

"هیئت تحریریه مجله از آقایان دکترسید علی معلمی، دکتر علیرضا بشیری و دکتر حبیب نیا که داوری مقاله را بر عهده داشته اند کمال تشکر و سپاس را دارد"

منابع فارسی

- [۱] مطیعی، همایون، ۱۳۷۴، "زمین‌شناسی نفت زاگرس، سازمان زمین‌شناسی کشور"، سازمان زمین‌شناسی کشور، ۱۰۰۹ صفحه.
- [۲] زاهدی‌نژاد، جعفر، ۱۳۶۶، "مطالعه زمین‌شناسی بخش ماسه‌سنگ اهواز در حاشیه جنوب غربی حوضه رسوی آسماری"، اداره کل زمین‌شناسی گسترشی مناطق نفت‌خیز جنوب، گزارش ۴۰۲۸، ۱۲۵ صفحه.

References

- [1] Ahr, W. M, 2008, Geology of Carbonate Reservoirs; The Identification, Description, and Characterization of Hydrocarbon Reservoirs in Carbonate Rocks, A JOHN WILEY and SONS, INC., 277 p.
- [2] Lucia , F. J., 2007, Carbonate Reservoir Characterization, Springer - Verlag , Berlin , 226 p. [3] Rahimpour-Bonab, H. and Esrafilii-Dizaji, B., 2009, Effects of depositional and diagenetic characteristics on carbonate reservoir quality: a case study from the South Pars gas field in the Persian Gulf. Petroleum Geoscience, Vol. 15, pp. 325-344.
- [4] Nader, F. H., Moradpour, M., Samani, P., Hamon, Y., Hosseiny, A., Daniel, J. M., Moallemi, A., and Pickard, N., 2009, Diagenesis of the Asmari Formation (Oligo-Miocene, SW Iran): Implication of reservoir modeling of giant oil field, First International Petroleum Conference of EAGE, Iran.

- [5] Moore, C. H., 2001, Carbonate Reservoirs; Porosity Evolution and Diagenesis in a Sequence Stratigraphic Framework, *Developments in Sedimentology* 55, Elsevier, 444 p.
- [6] Ketzer, J. M. M., 2002, Diagenesis and Sequence Stratigraphy: An Integrated Approach to Constrain Evolution of Reservoir Quality in Sandstones, *Comprehensive Summaries of Uppsala Dissertations from the Faculty of Science and Technology* 762.
- [7] Honarmand, J. and Amini, A., 2012, Diagenetic processes and reservoir properties in the ooid grainstones of the Asmari Formation, Cheshmeh Khush Oil Field, SW Iran, *Journal of Petroleum Science and Engineering*, Vol. 81 pp. 70–79.
- [8] Dickson, J. A. D., 1966, Carbonate identification and genesis as revealed by staining. *J. Sediment. Res.*, Vol. 36, pp. 491–505.
- [9] Meyers, W.J. and Lohmann, K.C, 1985, Isotopic geochemistry of regionally extensive calcite cement zones and marine components in Mississippian limestones, New Mexico: in *Carbonate Cements*, N. Schneiderman and P. Harris, eds., Society of Economic. Paleontologists and Mineralogists, Special Publication, No. 36, pp. 223- 240.
- [10] Dorobek, S. L., Read, J. F., Niemann, J. M., Pong, T. C., and Haralick, R. M., 1987, Image analysis of cathodoluminescent-zoned calcite cements. *Journal of Sedimentary Petrology*, Vol. 57, pp. 766–770.
- [11] Machel , H. G., 2005, Investigations of burial diagenesis in carbonate hydrocarbon reservoir Rocks, *Geosci. Can.* Vol. 32, pp. 103-128.
- [12] Miller, J., 1988, Cathodoluminescence microscopy. In M. Tucker, *Techniques in sedimentology*, Oxford, Blackwell Scientific, pp. 174–190.
- [13] Buxton, M. W. N. and Pedley, H. M., 1989, A standardized model for Tethyan Tertiary carbonate ramps. *Journal of the Geological Society, London*, Vol. 146, pp. 746-748.
- [14] Hunt, D. and Tucker, M. E., 1992, Standard parasequences and the forced regressive wedge system tract: deposition during base-level fall, *Sediment. Geol.*, Vol. 81, pp. 1-9.
- [15] Wilson, J.L., 1975, Carbonate facies in geologic history. New York (Springer), 411 p.
- [16] Seyrafian, A., and Hamedani, A., 2003, Microfacies and paleoenvironmental interpretation of the lower Asmari Formation (Oligocene), North-Central Zagros basin, Iran. *N. Jb. Geol. Palaeont. Mh.*, no. 3, p. 164-167.
- [17] Read, J. F., 1982, Carbonate platforms of passive (extensional) continental margin-types, characteristics and evolution. *Tectonophysics*, Vol. 81, pp. 195-212.
- [18] Burchette, T.P. and Wright, V.P., 1992, Carbonate ramp depositional systems. *Sed. Geol.*, Vol. 79, pp. 3-57.
- [19] Aqrawi, A., Keramati, M., Ehrenberg, S., Pickard, N., Moallemi, A., Svånå, T., Darke, G., Dickson, J. A. D. and Oxtoby, N. H., 2006, The Origin of Dolomite in the Asmari Formation (Oligocene-Lower Miocene), Dezful Embayment, SW Iran, *Journal of Petroleum Geology*, Vol. 29, No. 4, pp. 381-402.
- [20] Vaziri-Moghaddam, H., Kimiagari, M., and Taheri, A., 2006, Depositional environment and sequence stratigraphy of the Oligo-Miocene Asmari Formation SW Iran, *Facies*, Vol. 52, pp. 41-51.
- [21] Van Buchem, F.S.P., Allan, T., Lausen, G.V., Lotfpour,M., Moallemi, A., Monibi, S.,Motiei, H., Pickard, N., Tahmasbi, A.R., Vedrenne, V., Vincent, B., 2010, Regional stratigraphic architecture and reservoir types of the Oligo-Miocene deposits in the Dezful Embayment (Asmari and Pabdeh Formations) SW Iran, 329. *GEOL. SOC. SPEC. PUBL.*, London, pp. 219–263.
- [22] Nichols, G., Williams, E. and Paola, C., 2007, *Sedimentary Processes, Environments and Basins*. International Association of Sedimentologists, 648 p.
- [23] Meyers, W. J., and Hill, B. E., 1983, Quantitative studies of compaction in Mississippian skeletal limestones, New Mexico, *Journal of Sedimentary Petrology*, Vol. 53, pp. 231-242.
- [24] Schmoker J.W., Halley R.B., 1982, Carbonate porosity versus depth: a predictable relation for south Florida. *AAPG Bull*, Vol. 66, No. 12: pp. 2561-2570.
- [25] Longman, M.W., 1980, Carbonate diagenetic textures from nearsurface diagenetic environments, *Amer. Ass. Petrol. Geol. Bull.*, Vol. 64, pp. 461-487.
- [26] Cantrell, D.L., 2006, Cortical fabrics of Upper Jurassic ooids, Arab Formation, Saudi Arabia: implications for original carbonate mineralogy, *Sediment. Geol.* Vol. 186, pp. 157–170.
- [27] Tucker, M.E., Wright, V.P., 1990, *Carbonate Sedimentology*, Blackwell Scientific, Oxford, pp. 482.
- [28] Bathurst, R. G. C., 1975, Carbonate sediments and their diagenesis, Elsevier, *Developments in sedimentology* ; No. 12, 620 p.
- [29] Flügel, E., 2010, *Microfacies of Carbonate Rocks: Analysis, Interpretation and Application*, Springer-Verlag, Berlin, 984 p.
- [30] Kaufman J., Meyers W.J., and Hanson G.N., 1990, Burial cementation in the Swan Hills Formation (Devonian), Rosevear Field, Alberta, Canada. *J. Sediment. Petrol.*, Vol. 60, No. 6, pp. 918-939.

- [31] Ruppel, S. C., and Cander, H. S., 1988, Dolomitization of shallow water platform carbonates by seawater and seawater-derived brines: San Andres Formation (Guadalupian), west Texas, in V. Sukloa and P. A. Baker, eds., *Sedimentology and geochemistry of dolostones: SEPM Special Publication 43*, pp. 245–262.
- [32] Jones, G.D. and Xiao, Y, 2005, Dolomitization, anhydrite cementation, and porosity evolution in a reflux system: Insights from reactive transport models, *AAPG Bulletin*, Vol. 89, No. 5, pp. 577–601.
- [33] Chang, L. L. Y., Howie, R. A. and Zussman, J., 1996, *Rock-forming Minerals: Non-silicates*, second ed., Longman.
- [34] Melvin, J. L., 1991, *Evaporites, Petroleum and Mineral Resources*, Elsevier, *Developments in Sedimentology*, No. 50.
- [35] Mazzullo, S. J. and Chilingarian, G. V., 1992, Diagenesis and origin of porosity (chapter 4). In: G. V. Chilingarian, S. J. Mazzullo, and H. H. Rieke (Editors), *Carbonate reservoir characterization: A Geologic-Engineering Analysis*, part I. Elsevier publ. Co., Amsterdam, pp. 199–270.
- [36] Warren, J., 2000, Dolomite: occurrence, evolution and economically important associations. *Earth-Science Reviews*, Vol. 52, pp. 1–81.
- [37] Gregg, J.M., Sibley, D.F., 1984, Epigenetic dolomitization the origin of xenotopic dolomite texture, *J. Sediment. Petrol.* Vol. 54, pp. 907–931.
- [38] Land, L.S., 1985, The origin of massive dolomite. *J. Geol. Educ.* Vol. 33, pp. 112–125.
- [40] Gregg, J.M., Shelton, K.L., 1990, Dolomitization and dolomite neomorphism in the back reef facies of the Bonneterre and Davis formations -Cambrian., Southeastern Missouri, *J. Sediment. Petrol.*, Vol. 60, No. 4, pp. 549–562.
- [41] Kopaska-Merkel, D.C., Friedman, G.M., 1989, Petrofacies analysis of carbonate rocks; example from lower Paleozoic Hunton Group of Oklahoma and Texas. *Am. Assoc. Petrol. Geol. Bull.*, Vol. 73, No. 11, pp. 1289–1306.
- [42] Sibley, D. F., Gregg, J. M., 1987, Classification of dolomite rock textures, *J. Sediment. Petrol.* Vol. 57, pp. 967–975.
- [43] Adabi, M. H., 2009, Multistage dolomitization of Upper Jurassic Mozdur Formation, Kopet-Dagh Basin, N. E. Iran, *Carbonates and Evaporites*, v.24, p. 16–32.
- [44] Sibley, D.F., 1980, Climatic control of dolomitization, Seroe Domi Formation-Pliocene., Bonaire, N.A. In: Zenfger, D.H., Dunham, J.B., Ethington, R.L. _Eds., *Concepts and Models of Dolomitization*, Spec. Publ.-SEPM Vol. 28, pp. 247–258.
- [45] Al-Aasm, I. S., Ghazban, F., and Ranjbaran, M., 2009, Dolomitization and related fluid evolution in the Oligocene –Miocene Asmari Formation, Gachsaran area, SW Iran: Petrographic and isotopic evidence, *Journal of Petroleum Geology*, Vol. 32, No. 3, pp. 287–304.
- [46] Choquette P. W., and Pray, L. C., 1970, Geologic nomenclature and classification of porosity in sedimentary carbonates, *AAPG Bulletin*, Vol. 54, No. 2, pp. 207–250.

Iagenetic controls on reservoir quality of the Asmari carbonate succession in the Cheshmeh Khush Field, SW Iran

Honarmand J., Amini A.

Abstract

The Oligo-miocence Asmari Formation in the Cheshmeh Kush Oil Field consists of a mixed carbonate-siliciclastic succession. The carbonate intervals of the Formation display a high degree of vertical heterogeneity created by a complex diagenetic history. This study is aimed to investigate the effect of diagenetic events on reservoir quality of carbonate intervals of the Asmari Formation. Core samples and thin sections were studied from sedimentological and diagenetic point of view. Results from cathodoluminescence and scanning electron microscopy were used to investigate diagenetic features in details. Core analysis data (porosity and permeability) and wire-line logs (porosity and oil saturation values) from studied interval were used in order to examine reservoir properties.

Diagenetic studies and their comparison with petrophysical data demonstrated that dolomitization, cementation (calcite, anhydrite and celestite cements), compaction and dissolution are the most important diagenetic events affecting porosity and permeability of the reservoir. Based on vertical distribution of diagenetic features and reservoir characteristics, diagenetic zones (DZ) of the carbonate succession were introduced. Medium crystalline dolostones with sparse compaction features and limited anhydrite cement (DZ-23, 27 and 30) comprise the highest value of porosity and permeability. Whereas intense mechanical and chemical compaction and evaporate (anhydrite and celestite) cementation in some dolomitic intervals have thoroughly reduced reservoir quality (DZ-12, 11 and 24). Compaction and calcite cementation (coarse sparry, equant and poikilotopic types) in some limestone intervals damaged reservoir properties and created non-reservoir intervals (DZ-3, 20 and 17). In contrast, high value of interparticle and dissolution porosities along with minor compaction and cementation effects has improved reservoir properties of the Asmari limestones (DZ-31 and 32).

This study shows that the reservoir characteristics of the Asmari Formation in the studied field are dominantly affected by diagenetic events and therefore diagenetic studies and determination of diagenetic zones in field-scale are the most important part in static reservoir modeling and reservoir quality prediction of the reservoir.

Key words: Diagenesis, reservoir quality, Asmari, Cheshmeh Kush oil field